

3100097008841

**STUDI PENGENDALIAN FREKUENSI DAN TEGANGAN
PADA PEMBANGKIT LISTRIK TENAGA UAP SURALAYA
MENGGUNAKAN
KONTROL ADAPTIF SWA-TALA**

TUGAS AKHIR

Disusun oleh :

SAPTONO TRI NUGROHO

NRP. 2290100010

RSE
629.836
Nug
S-1
1996



**JURUSAN TEKNIK ELEKTRO
FAKULTAS TEKNOLOGI INDUSTRI
INSTITUT TEKNOLOGI SEPULUH NOPEMBER
1996**

PERPUSTAKAAN ITS	
Tgl. Terima	15 JAN 1997
Terima Dari	H
No. Agenda Prp.	6830

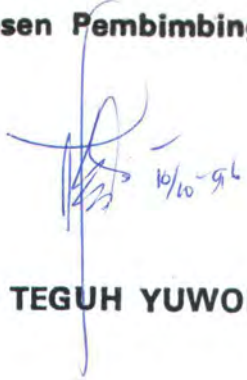
**STUDI PENGENDALIAN FREKUENSI DAN TEGANGAN
PADA PEMBANGKIT LISTRIK TENAGA UAP SURALAYA
MENGGUNAKAN
KONTROL ADAPTIF SWA-TALA**

TUGAS AKHIR

**Diajukan Guna Memenuhi Sebagian Persyaratan
Untuk Memperoleh Gelar Sarjana Teknik
Pada
Bidang Studi Teknik Sistem Tenaga
Jurusan Teknik Elektro
Fakultas Teknologi Industri
Institut Teknologi Sepuluh Nopember
Surabaya**

Mengetahui / Menyetujui

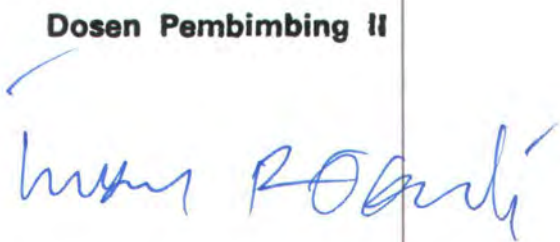
Dosen Pembimbing I



10/10/96

(Ir. TEGUH YUWONO)

Dosen Pembimbing II



(Ir. IMAM ROBANDI, M.T.)

**S U R A B A Y A
September , 1996**



TUGAS AKHIR

ABSTRAK

ABSTRAK

Gangguan kecil pada sistem tenaga listrik dapat berakibat pada kinerja dinamik sistem (frekuensi dan tegangan) menjadi tidak baik, bahkan dapat membawa sistem menuju daerah yang tidak stabil. Gangguan dinamik itu disebabkan oleh perubahan beban yang relatif kecil sehingga timbul ayunan sebelum sistem kembali pada keadaan stabil. Agar tercapai efisiensi energi maupun waktu perlu dilakukan suatu perbaikan pada kinerja dinamiknya. Perbaikan ini dapat diupayakan dengan menerapkan kontrol adaptif swatala.

Pada studi ini kontrol adaptif swatala diterapkan pada sisi turbin dan sisi eksitasi menggunakan strategi kontrol minimum variansi yang diperumum dilengkapi dengan estimator kuadrat terkecil secara rekursif. Estimator ini mengestimasi parameter-parameter sistem yang berubah akibat adanya gangguan. Parameter-parameter hasil estimasi tersebut merupakan informasi untuk mendesain simbal kontrol yang diperlukan untuk menetralisir gangguan. Akibatnya ayunan yang terjadi dapat segera diredam agar sistem segera mencapai keadaan stabil.

Kasus yang diambil adalah PLTU Suralaya yang merupakan salah satu penyuplai utama tenaga listrik interkoneksi Jawa-Bali



TUGAS AKHIR

KATA PENGANTAR

KATA PENGANTAR

Assalamualaikum wr. wb.

Alhamdulillah, dengan rahmad Allah SWT dan restu orang tua, buku tugas akhir ini dapat terselesaikan. Buku tugas akhir ini berjudul *Studi Pengendalian Frekuensi dan Tegangan pada Pembangkit Listrik Tenaga Uap Suralaya Menggunakan Kontrol Adaptif Swatala*. Tugas akhir ini disusun untuk memenuhi salah satu persyaratan dalam memperoleh gelar sarjana pada bidang studi Teknik Sistem Tenaga, Jurusan Teknik Elektro, Fakultas Teknologi Industri, Institut Teknologi Sepuluh Nopember.

Penulis menyadari bahwa tugas akhir ini masih jauh dari sempurna mengingat kemampuan dan keterbatasan yang ada pada diri penulis. Oleh karena itu penulis mengucapkan terima kasih apabila ada yang berkenan memberikan kritik dan saran demi kesempurnaan tugas akhir ini.

Akhir kata penulis berharap semoga tugas akhir ini dapat bermanfaat bagi almamater dan bangsa Indonesia.

Wassalamualaikum wr. wb.

Surabaya, September 1996

Penulis



TUGAS AKHIR

UCAPAN TERIMA KASIH

UCAPAN TERIMA KASIH

Dengan selesainya tugas akhir ini , penulis mengucapkan rasa terima kasih yang tulus kepada :

1. Bapak *Dr. Ir. Salehudin, M.Eng. Sc.*, selaku Ketua Jurusan Teknik Elektro, Fakultas Teknologi Industri, Institut Teknologi Sepuluh Nopember.
2. Bapak *Ir. Sidaryanto*, selaku Koordinator Bidang Studi Teknik Sistem Tenaga, Jurusan Teknik Elektro, Fakultas Teknologi Industri, Institut Teknologi Sepuluh Nopember.
3. Bapak *Dr. Ir. Soebagio*, selaku Dosen Wali yang telah banyak memberikan nasehat kepada penulis dalam proses perkuliahan hingga tersusunnya Tugas Akhir ini
4. Bapak *Ir. Teguh Yuwono* selaku dosen pembimbing I dan Bapak *Ir. Imam Robandi, MT* selaku dosen pembimbing II yang telah meluangkan waktu untuk memberikan bimbingan dan pengarahan dalam penyusunan Tugas Akhir ini.
5. Bapak *Ir. Rusdhianto Effendi, M.T.*, dosen Bidang Studi Sistem Pengaturan, Jurusan Teknik Elektro, Fakultas Teknologi Industri, Institut Teknologi Sepuluh Nopember, yang telah memberikan petunjuk yang sangat berharga.
6. Bapak *Yusuf Iyudin* dari PT. PLN (PERSERO) PLTU SURALAYA yang telah memberikan bimbingan dan bantuan data yang diperlukan dalam penyusunan Tugas Akhir ini.
7. Bapak *Ir. Edy Suwarto, MT* selaku dosen Politeknik Elektro Universitas Diponegoro Semarang yang telah memberikan data yang diperlukan dalam penyusunan Tugas Akhir ini.
8. Ibuku dan Saudara-saudaraku yang telah memberikan dukungan mental dan moril demi selesaiannya Tugas Akhir ini.
9. Rekan-rekanku *Yudi Bachtiar, Darmawan P* dan *Darmawan W, Iwa Must, Gendi, Teguh, Yudi* dan rekan Control Club lainnya.
10. Berbagai pihak yang telah membantu terselesaiannya Tugas Akhir ini yang tidak dapat penulis sebutkan satu persatu.

Semoga Allah SWT membalas semua kebaikan dan bantuan yang telah diberikan kepada penulis. Amin



TUGAS AKHIR

DAFTAR ISI

DAFTAR ISI

ABSTRAK	i
KATA PENGANTAR	ii
UCAPAN TERIMAKASIH	iii
DAFTAR ISI	iv
DAFTAR GAMBAR	vii
DAFTAR TABEL	ix
DAFTAR LAMBANG DAN SINGKATAN	x
BAB I PENDAHULUAN	1
1.1 LATAR BELAKANG	1
1.2 PERMASALAHAN	2
1.3 PEMBATASAN MASALAH	3
1.4 METODE PEMECAHAN MASALAH	3
1.5 SISTEMATIKA PEMBAHASAN	4
1.6 RELEVANSI	5
BAB II PENGENDALI ADAPTIF SWATALA	6
2.1. SISTEM PENGENDALI ADAPTIF	6
2.1.1. Pengertian Sistem Pengendali Adaptif	6
2.1.2. Sistem Pengendali Adaptif Swatala	9
2.2. IDENTIFIKASI PARAMETER	10
2.3. VARIANSI MINIMUM YANG DIPERUMUM	17
BAB III PEMODELAN DINAMIK LINIER SISTEM PLTU SURALAYA	23
3.1. MODEL MESIN SINKRON	23

3.1.1. Pemodelan Sistem Eksitasi PLTU Suralaya -----	23
3.1.2. Pemodelan Turbin -----	25
3.1.3. Persamaan Dasar Torsi Mekanik -----	26
3.1.4. Persamaan Dasar Medan -----	28
3.1.5. Persamaan Tegangan Terminal -----	30
3.1.6. Persamaan Daya Elektrik -----	30
3.1.7. Persamaan Arus -----	31
3.1.8. Pemodelan Persamaan Elektromekanik -----	34
3.1.9. Pemodelan Persamaan Tegangan Terminal -----	34
3.1.10. Pemodelan Persamaan Daya Elektrik -----	35
3.1.11. Pemodelan Persamaan Medan -----	36
3.1.12. Model Linier Mesin Tunggal Keseluruhan -----	37
3.2. PERSAMAAN KEADAAN DAN PERSAMAAN OUTPUT -----	38
3.2.1. Komponen Matriks A -----	39
3.2.2. Komponen Matriks B -----	41
3.2.3. Komponen Matriks C -----	43
BAB IV SIMULASI DAN ANALISIS -----	45
4.1. ALGORITMA -----	45
4.1.1. Penerapan Perubahan Beban ΔP_L -----	47
4.2. SIMULASI -----	51
4.3. DATA -----	54
4.3.1. Data Parameter Generator -----	54
4.3.2. Data Impedansi Saluran -----	54
4.4. ANALISIS DAN PEMBAHASAN -----	55
4.4.1. Masukan Gangguan 1 -----	55
4.4.2. Masukan Gangguan 2 -----	59

BAB V PENUTUP -----	65
5.1. KESIMPULAN -----	65
5.2. SARAN -----	65
DAFTAR PUSTAKA -----	66

LAMPIRAN A

LAMPIRAN B

LAMPIRAN C

LAMPIRAN D



TUGAS AKHIR

DAFTAR GAMBAR

GAMBAR	HALAMAN
4.2. Diagram blok mesin tunggal disertai gangguan -----	47
4.3. Sinyal gangguan 1 unit step ($\Delta P_L = 0.005 \text{ pu}$) -----	52
4.4. Sinyal ganggan 2 unit step beramplitudo ($\Delta P_L = u(t) + 0.01 e(t)\text{pu}$) ---	52
4.5. Sinyal keluaran frekuensi dengan masukan ganggan 1 -----	57
4.6. Sinyal keluaran tegangan dengan masukan ganggan 1 -----	58
4.5. Sinyal keluaran frekuensi dengan masukan ganggan 2 -----	61
4.5. Sinyal keluaran tegangan dengan masukan ganggan 2 -----	62

GAMBAR	HALAMAN
4.2. Diagram blok mesin tunggal disertai gangguan -----	47
4.3. Sinyal gangguan 1 unit step ($\Delta P_L = 0.005 \text{ pu}$) -----	52
4.4. Sinyal gangguan 2 unit step beramplitudo ($\Delta P_L = u(t) + 0.01 e(t)\text{pu}$) ---	52
4.5. Sinyal keluaran frekuensi dengan masukan ganggan 1 -----	57
4.6. Sinyal keluaran tegangan dengan masukan ganggan 1 -----	58
4.5. Sinyal keluaran frekuensi dengan masukan ganggan 2 -----	61
4.5. Sinyal keluaran tegangan dengan masukan ganggan 2 -----	62



TUGAS AKHIR

DAFTAR TABEL

DAFTAR TABEL

TABEL	HALAMAN
4.1. Data Parameter Generator Unit I -----	54
4.2. Data Impedansi Saluran -----	54
4.3. Perbandingan keluaran dengan dan tanpa kontrol adaptif dengan masukan gangguan 1 -----	56
4.4.a. Perbandingan perubahan frekuensi dengan dan tanpa kontrol adaptif masukan gangguan 2 -----	60
4.4.b. Perbandingan perubahan tegangan terminal dengan dan tanpa kontrol adaptif masukan gangguan 2 -----	60



TUGAS AKHIR

**DAFTAR LAMBANG
DAN SINGKATAN**

DAFTAR LAMBANG DAN SINGKATAN

1. SISTEM PENGENDALIAN FREKUENSI DAN TEGANGAN

- I : arus (pu).
- I_q : arus sumbu direct (pu).
- I_d : arus sumbu quadrature (pu).
- j : menyatakan bilangan khayal.
- K_A : penguat amplifier
- K_E : penguat exciter
- K_F : penguat filter
- K_{gu} : penguatan governor uap.
- M : konstanta inersia.
- R : konstanta pengaturan turbin (rad/N.m.s).
- s : transformasi Laplace.
- T_m : torsi mekanik.
- T_e : torsi elektris.
- $T_{do'}$: konstanta waktu transien generator (detik).
- T_{gu} : konstanta waktu governor uap.
- T_{tu} : konstanta waktu turbin uap.
- U_1 : sinyal kontrol sisi turbin.
- U_2 : sinyal kontrol sisi eksitasi.
- V_o : tegangan bus infinit (pu).

- V_t : tegangan terminal generator (pu).
 x_d : reaktansi sumbu direct (pu).
 x_q : reaktansi sumbu quadrature (pu).
 x'_d : reaktansi transien sumbu direct (pu).
 x'_q : reaktansi transien sumbu quadrature (pu).
 Y : level katup.
 ω : frekuensi sudut.
 ω_s : frekuensi sudut keadaan sinkron.
 δ : sudut rotor.
 π : bilangan $22/7 = 3.14$
 Σ : simbol penjumlahan.
 Δ : simbol perubahan kecil.
 \int : simbol integral.

2. SISTEM PENGENDALIAN ADAPTIF SWATALA

$A(q^{-1})$, $B(q^{-1})$, $C(q^{-1})$: polinomial parameter model ARMAX.

- α_0 , α_1 , α_2 : faktor pengabai (forgetting faktor).
 a_i : koefisien polinomial $A(q^{-1})$, $i = 1, 2, \dots, n_a$.
 b_i : koefisien polinomial $B(q^{-1})$, $i = 1, 2, \dots, n_b$.
 c_i : koefisien polinomial $C(q^{-1})$, $i = 1, 2, \dots, n_c$.
 d : waktu tunda
 $e(t)$: sinyal derau putih

- $\varepsilon^o(t)$: kesalahan prakiraan apriori
 $\varepsilon(t)$: kesalahan prakiraan aposteriori
 $E\{\cdot\}$: nilai harapan matematik
 $F(t)$: penguatan adaptasi
 $F(q^{-1})$: hasil bagi polinomial $C(q^{-1}) / A(q^{-1})$.
 $G(q^{-1})$: sisa hasil bagi polinomial $C(q^{-1}) / A(q^{-1})$.
 J : fungsi kriteria.
 λ : faktor pembobot sinyal kendali dengan integrator.
 \emptyset : vektor informasi regresi.
 Φ : matriks informasi sistem
 q^{-1} : operator geser mundur persamaan beda.
 θ : vektor parameter sistem.
 $r(t)$: sinyal acuan keluaran.
 r : konstanta pembobot sinyal kendali.
 $u(t)$: sinyal masukan sistem.
 w : transformasi bilinier.
 $y(t)$: sinyal keluaran sistem.
 $\hat{y}(t)$: prediksi sinyal keluaran sistem.
 $\hat{y}(t+d|t)$: prediksi sinyal d langkah kemudian.
 z : koefisien transformasi bilinier.

3. MODEL PERSAMAAN KEADAAN

- A : matriks variabel keadaan.
- B : matriks masukan.
- C : matriks pengukuran.
- E : matriks gangguan.
- I : matriks identitas.
- t : langkah pencuplikan.
- T : waktu pencuplikan.
- u : vektor masukan.
- $u(t)$: vektor masukan sistem diskrit.
- w : vektor gangguan.
- $w(t)$: vektor gangguan sistem diskrit.
- y : vektor keluaran.
- $y(t)$: vektor keluaran sistem diskrit.
- x : variabel keadaan.
- $x(t)$: variabel keadaan sistem diskrit.



TUGAS AKHIR

BAB I

PENDAHULUAN

BAB I

PENDAHULUAN

1.1. LATAR BELAKANG

Dalam pengusahaan tenaga listrik, harus dipenuhi syarat-syarat kestabilan dan keandalan sistem tenaga listrik. Untuk itu segala bentuk gangguan baik yang bersifat transient maupun dinamik yang akan mengganggu syarat-syarat di atas harus dapat ditanggulangi oleh sistem. Gangguan yang disebut terakhir adalah gangguan yang disebabkan oleh perubahan beban yang kecil atau sering kali disebut dengan gangguan dinamik [1].

Beban sistem tenaga listrik besarnya sangat bervariasi tergantung dari pola pemakaian tenaga listrik oleh konsumen. Pembangkit tanaga listrik harus menyediakan daya yang sesuai dengan variasi beban tersebut. Tetapi kenyataanya pembangkit sulit menyesuaikan keluaran daya dengan cepat sesuai dengan variasi beban yang ada.

Pada mesin pembangkit tenaga listrik diperlukan daya mekanis (P_m) sebagai masukan dan dihasilkan daya elektris (P_e) sebagai keluaran. Daya elektris ini dikendalikan oleh konsumen dalam bentuk pemakaian tenaga listrik sehingga selalu berubah-ubah, maka tidak akan pernah diperoleh keadaan daya mekanis (P_m) sama dengan daya elektris (P_e). Satu-satunya cara agar diperoleh keseimbangan antara P_m dan P_e adalah dengan melakukan pengaturan P_m . Tetapi secepat apapun pengaturan P_m sulit didapatkan P_m sama dengan P_e sepanjang waktu, karena adanya

pengaruh inersia turbin generator, sumber energi dan lain-lain. Dengan demikian selalu didapat keadaan tidak seimbang antara energi yang diperlukan dengan energi yang dihasilkan sehingga menyebabkan frekuensi berisolasikan di sekitar frekuensi nominal. Dengan kata lain, perubahan-perubahan beban yang kecil akan mengakibatkan kestabilan sistem tenaga listrik berosilasi di sekitar titik kerjanya. Kondisi ini merupakan gangguan yang sering kali disebut dengan gangguan dinamik (frekuensi dan tegangan), yang pada akhirnya akan membawa sistem pada keadaan tidak stabil.

1.2. PERMASALAHAN

Setelah melihat latar belakang di atas dapat dirumuskan permasalahan utama yaitu bagaimana mendapatkan cara untuk mengendalikan frekuensi dan tegangan mesin pembangkit tenaga listrik agar setiap perubahan beban yang kecil dapat diredam efek ayunan rotor generatoriya, sehingga akan diperoleh penampilan keluaran frekuensi dan tegangan yang lebih baik.

Dari pengamatan karakteristik mesin pembangkit tenaga listrik dan gangguan dinamiknya akan diupayakan pemakaian kontrol adaptif swatala yang secara terus menerus (on line) mendeteksi perubahan beban yang terjadi dan memperkecil efek perubahan beban itu agar diperoleh keadaan yang sesuai dengan syarat kestabilan sistem tenaga listrik.

1.3. PEMBATASAN MASALAH

Supaya pembahasan tidak meluas, Tugas Akhir ini dibatasi oleh lingkup permasalahan sebagai berikut :

1. Mesin pembangkit listrik pada PLTU Suralaya dianggap mesin tunggal terhubung dengan bus infinit dan merupakan sistem yang seimbang.
2. Gangguan yang berupa perubahan beban merupakan perubahan beban kecil (dinamik), sedangkan gangguan selain perubahan beban diwakili oleh unsur derau (white noise).
3. Penelitian ini hanya terbatas pada pemodelan, perancangan estimator dan kontroler serta menyimulasikan hasilnya tetapi tidak termasuk implementasi pada sistem sebenarnya.

1.4. METODE PEMECAHAN MASALAH

Metode kontrol adaptif swatala merupakan strategi kontrol untuk mendapatkan sinyal kontrol $u(t)$ yang diinputkan pada plant $P(s)$ sedemikian rupa agar diperoleh keluaran sistem sesuai dengan yang diinginkan. Metode yang ditempuh dalam melakukan penelitian ini sesuai dengan urutan berikut ini :

Pertama adalah membentuk model matematik sistem yang meliputi turbin dan pengendaliannya, mesin sinkron, jaringan dan sistem eksitasi.

Kedua adalah menyusun model matematik dalam bentuk persamaan keadaan yaitu

$$\dot{x}(t) = Ax(t) + Bu(t) \text{ dan } y(t) = Cx(t)$$

dengan,

$x(t)$: vektor variabel keadaan ; A : matrik variabel keadaan

$u(t)$: vektor variabel masukan ; B : matrik masukan

$y(t)$: vektor variabel pengukuran ; C : matrik pengukuran

Ketiga adalah memasukan suatu model gangguan perubahan beban yang akan merubah persamaan keadaan di atas menjadi dalam bentuk ARMAX sebagai berikut :

$$A(q^{-1})y(t) = B(q^{-1})u(t) + C(q^{-1})e(t)$$

dengan y adalah keluaran dan u adalah masukan dan e gangguan.

Keempat adalah proses estimasi yang menggunakan metode *Extended Least Square* dan proses pengendalian yang menggunakan *Metode Variansi Minimum yang Diperumum*. Selanjutnya ditampilkan simulasi perubahan sinyal output, yaitu output frekuensi dan output tegangan.

1.5. SISTEMATIKA PEMBAHASAN

Dalam penulisan tugas akhir ini terdiri dari 5 bab, yang terdiri dari Bab 1 berupa pendahuluan, pengendali swa-tala disajikan dalam Bab 2, Bab 3 berisi tentang pemodelan mesin tunggal di PLTU Suralaya, Bab 4 dibahas tentang simulasi dan analisisnya, diakhiri oleh Bab 5 yang berisi kesimpulan dari pembahasan yang telah dilakukan.

1.6. RELEVANSI

Dengan diselesaiannya tugas akhir ini diharapkan dapat memberikan alternatif perbaikan unjuk kerja akibat dinamika sistem tenaga listrik mesin tunggal dengan menggunakan sistem kendali swa-tala. Dan juga diharapkan agar tugas akhir ini dapat dipakai sebagai bahan pertimbangan untuk pengembangan sistem kelistrikan diwaktu yang akan datang.



TUGAS AKHIR

BAB II

PENGENDALI ADAPTIF SWATALA

BAB II

PENGENDALI ADAPTIF SWATALA

2.1. SISTEM PENGENDALI ADAPTIF

2.1.1. Pengertian Sistem Pengendali Adaptif

Gagasan tentang sistem pengendali adaptif mengacu pada aspek adaptif perilaku manusia. Kemudian dikembangkan sistem yang mempunyai kemampuan adaptasi yang mirip dengan sifat adaptif manusia tersebut. Sistem ini mampu menyesuaikan diri dengan lingkungannya dalam upaya menjaga performansinya agar sesuai dengan keadaan yang diinginkan.

Sistem adaptif adalah sistem pengendali yang secara kontinyu dan otomatis mengukur karakteristik dinamik plant dan membandingkannya dengan karakteristik dinamik yang diinginkan, dan menggunakan selisih ini untuk mengubah parameter sistem yang dapat diatur atau untuk membangkitkan sinyal kendali sedemikian rupa sehingga dapat dijaga performansi optimal tanpa menghiraukan perubahan lingkungan sekelilingnya atau dengan kata lain, merupakan sistem pengendali yang secara kontinyu mengukur performansi dirinya sesuai dengan indeks performansi yang diberikan, dan jika diperlukan, memodifikasi parameter sistem untuk menjaga performansi optimal tanpa menghiraukan perubahan sekeliling.

Suatu sistem adaptif mempunyai ciri-ciri pengorganisasian diri. Jika karakteristik plant tidak diketahui secara sempurna, karena parameternya berubah secara acak atau karena pengaruh perubahan lingkungan pada karakteristik dinamik plant, maka prosedur identifikasi, pengambilan keputusan dan modifikasi perlu dilakukan secara kontinyu atau setiap selang waktu tertentu, tergantung pada kecepatan perubahan parameternya. Proses redesain atau pengorganisasian diri ini diperlukan untuk mengkompensasi perubahan-perubahan dalam plant, sehingga didapatkan aspek performansi yang baik.

Pada dasarnya sistem pengendali adaptif mempunyai tiga fungsi, yaitu :

1. Mengidentifikasi karakteristik dinamik plant.
2. Pengambilan keputusan yang didasarkan pada identifikasi plant.
3. Melakukan modifikasi atau memberikan sinyal kendali berdasarkan keputusan yang diambil.

Adapun diagram blok konfigurasi dasar sistem pengendali adaptif ditunjukkan pada gambar (2.1).

Bila terjadi perubahan parameter plant akibat gangguan dari lingkungan, pada proses identifikasi terjadi perubahan sebagai reaksi adanya perubahan parameter ini. Proses identifikasi ini akan memberikan hasil estimasi, yang selanjutnya digunakan untuk menentukan sinyal kendali sebagai input proses. Untuk merealisasikan sistem pengendali adaptif secara umum dibagi menjadi tiga pendekatan, yaitu [5]

1. Gain Schedulling.

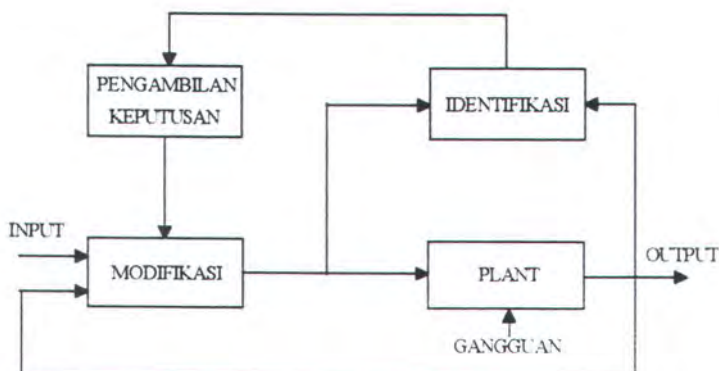
2. Model Referensi Adaptif Control (MRAC).

3. Self Tuning Regulator (Pengendali Swatala)

Dari ketiga pendekatan di atas terdapat kesamaan, yaitu selalu terdiri dari dua loop, yaitu [10] :

- loop tertutup (feedback)
- loop adaptif .

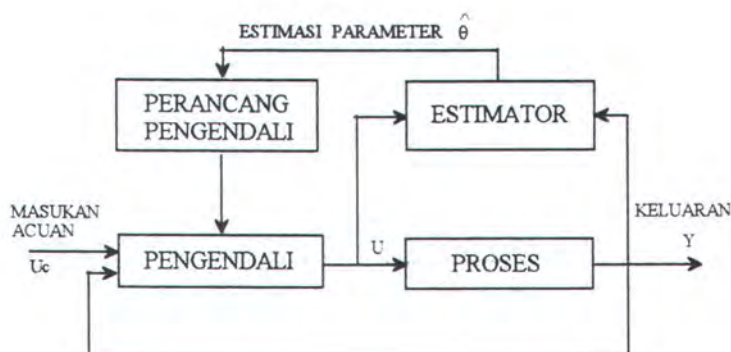
Loop tertutup mempunyai fungsi untuk membangkitkan sinyal kendali yang disebabkan error yang terjadi antara output proses dan input referensi atau set point yang diinginkan. Sedangkan loop adaptif berfungsi untuk penyesuaian parameter bila terjadi perubahan akibat gangguan sehingga sistem tetap dalam performansi optimalnya.



Gambar 2.1. Diagram blok sistem pengendali adaptif [5].

2.1.2. Sistem Pengendali Swatala

Sistem pengendali adaptif swatala dirancang untuk mengendalikan proses-proses yang mempunyai parameter-parameter yang tidak diketahui. Parameter-parameter itu umumnya berubah-ubah setiap saat. Salah satu upaya untuk merealisasikan sistem pengendali adaptif swatala ini adalah dengan pendekatan estimasi parameter-parameter proses yang dilakukan dalam kawasan waktu nyata. Selanjutnya parameter-parameter pengendali disesuaikan pada setiap selang pencacaan berdasarkan estimasi parameter-parameter proses.



Gambar 2.2. Diagram blok pengendali swatala [5].

Proses pengestimasian dan pengendalian dilaksanakan secara terpisah sehingga proses pengendalian dilaksanakan berdasarkan asumsi bahwa parameter-parameter proses hasil estimasi merupakan parameter-parameter yang sebenarnya tanpa memperdulikan efek ketidakpastian estimasi.

2.2. IDENTIFIKASI PARAMETER [5]

Sistem secara matematis dibagi menjadi sistem deterministik dan sistem stokastik. Tetapi di dalam kehidupan sehari-hari sistem stokastik adalah yang paling dominan. Faktor-faktor gangguan sistem baik berupa gangguan besar maupun gangguan kecil yang bersifat dinamik sering kali menyertai sistem-sistem dalam kehidupan sehari-hari.

Dalam tugas akhir ini yang dibahas adalah upaya penanggulangan gangguan kecil yang bersifat dinamik, menggunakan model proses tidak linear yang dipengaruhi pengendali dari suatu data yang dicacah dan dipengaruhi gangguan. Untuk menggambarkan perilaku proses ini metode yang biasa digunakan adalah dengan melinearkan model tersebut. Representasi sistem tersebut dalam waktu diskrit dinyatakan dalam bentuk ARMAX (*Auto Regressive Moving Average Exogeneous*) dengan masukan dan keluaran tunggal (SISO = *single input single output*).

$$A(q^{-1})y(t) = q^{-d}B(q^{-1})u(t) + C(q^{-1})e(t) \quad (2.1)$$

dengan :

$$A(q^{-1}) = 1 + a_1q^{-1} + \dots + a_nq^{-n} = 1 + \sum_{i=1}^n a_iq^{-i} \quad (2.2.a)$$

$$B(q^{-1}) = b_0 + b_1q^{-1} + \dots + b_nq^{-n} = \sum_{i=0}^n b_iq^{-i} \quad (2.2.b)$$

$$C(q^{-1}) = 1 + c_1q^{-1} + \dots + c_nq^{-n} = 1 + \sum_{i=1}^n c_iq^{-i} \quad (2.2.c)$$

$y(t)$ = sinyal keluaran

$u(t)$ = sinyal masukan

$e(t)$ = derau putih tidak berkorelasi d = waktu tunda

q^{-1} = operator geser mundur

Penulisan model waktu diskrit persamaan (2.1) tidak menggunakan variabel kompleks z melainkan operator geser mundur q^{-1} , karena variabel waktu kompleks hanya berlaku untuk sistem invarian waktu linear. Dalam pengendalian swatala sistem dianggap linear time varying (varian waktu linear) pada tiap-tiap selang waktu pencacahan sehingga lebih sesuai bila digunakan operator yang menunjukkan waktu pergeseran pencacahan.

Untuk identifikasi parameter penulisan struktur model ARMAX sering kali dituliskan dalam bentuk regresi linear sebagai berikut :

$$y(t) = \theta^T \phi(t-1) + e(t) \quad (2.3)$$

dengan

$\{e(t)\} = N[0, \sigma_e^2]$: sinyal derau putih dengan rata-rata 0 dan variansi σ_e^2

θ : vektor (kolom) parameter.

$\phi(t-1)$: vektor (kolom) informasi (regresi).

Sebagai gambaran untuk sistem ARMAX seperti pada persamaan (2.1) diperoleh berturut-turut vektor parameter serta vektor informasi sistem :

$$\theta = [a_1 \dots a_n \quad b_1 \dots b_d \quad c_1 \dots c_n] \quad (2.4)$$

$$\phi(t-1) = [-y(t-1) \dots -y(t-na) \quad u(t-1-d) \dots u(t-nb-d)]$$

$$[e(t-1) \dots e(t-nc)]^T \quad (2.5)$$

Dari persamaan tersebut di atas dapat ditentukan orde sistem dalam regresi linear adalah jumlah orde polinom A, B, C atau ($n = na + nb + nc$).

Identifikasi parameter menggunakan prinsip kuadrat terkecil (*least square*) yaitu bagaimana memilih parameter yang tidak diketahui dari suatu model sedemikian rupa sehingga jumlah kuadrat dari selisih antara harga yang terukur dengan harga yang dihitung dari model dikalikan dengan harga yang menunjukkan tingkat ketepatan akan mencapai harga minimum. Identifikasi dilakukan dalam waktu nyata yang diharapkan dapat memberikan hasil secara rekursif sesuai dengan hasil pengukuran yang diperoleh. Estimasi parameter ini digunakan untuk memperoleh parameter-parameter proses yang tidak diketahui atau yang berubah terhadap waktu.

Variabel keluaran hasil estimasi dinyatakan dalam bentuk :

$$\hat{y}(t) = \hat{\theta}^T(t) \emptyset(t-1) \quad (2.6)$$

$\hat{\theta}(t)$ adalah hasil estimasi terbaik dari vektor parameter sistem pada saat t, sehingga kesalahan prediksi adalah :

$$\varepsilon(t) = y(t) - \hat{y}(t) = \hat{\theta}^T(t) \emptyset(t-1) \quad (2.7)$$

Kriteria estimasi kuadrat terkecil diukur dari fungsi kriteria $J(t)$ yang didefinisikan sebagai jumlah kuadrat dari kesalahan estimasi.

$$J(t) = \sum_{i=1}^n (\varepsilon(i))^2 \quad i = 1, 2, \dots, N \quad (2.8)$$

Selanjutnya dengan N pengukuran , diperoleh harga fungsi kriteria :

$$\mathcal{J}(t) = [Y - \Phi \theta(t)]^T [Y - \Phi \theta(t)] \quad (2.9)$$

dengan Y adalah vektor informasi keluaran sistem :

$$Y = [y(1) \ y(2) \ \dots \ y(N)] \quad (2.10)$$

sedang Φ adalah matriks informasi sistem :

$$\Phi = [\varnothing^T(0) \ \varnothing^T(1) \ \varnothing^T(2) \dots \varnothing^T(N-1)] \quad (2.11)$$

Sesuai dengan strategi estimasi optimal, parameter sistem terbaik akan diperoleh jika harga fungsi kriteria (3.9) adalah minimum terhadap θ .

$$\frac{\partial \mathcal{J}(t)}{\partial \theta(t)} = 0 \quad (2.12)$$

Sehingga diperoleh persamaan normal :

$$(\Phi^T \Phi) \theta(t) = \Phi^T Y \quad (2.13)$$

atau diperoleh estimasi parameter sistem :

$$\hat{\theta}(t) = (\Phi^T \Phi)^{-1} \Phi^T Y \quad (2.14)$$

Metode kuadrat terkecil rekursif (RLS = Recursive Least Square) dengan kriteria (2.8) diturunkan dari formula estimasi non recursive (2.14) diperoleh sebagai berikut :

$$\hat{\theta}(t) = [\sum_{i=1}^t \mathcal{O}(i-1) \mathcal{O}^T(i-1)]^{-1} \sum_{i=1}^t \mathcal{O}(i-1) Y(i) \quad (2.15)$$

Dengan $F(t)$ adalah penguat adaptasi dan $\varepsilon^0(t)$ kesalahan *a priori*

$$F^T(t) = [\sum_{i=1}^t \mathcal{O}(i-1) \mathcal{O}^T(i-1)] \quad (2.16)$$

$$F^{T+1}(t) = F^T(t-1) + \mathcal{O}(t-1) \mathcal{O}^T(t-1) \quad (2.17)$$

$$\varepsilon^0(t) = y(t) - \mathcal{O}^T(t) \hat{\theta}(t-1) \quad (2.18)$$

diperoleh :

$$\hat{\theta}(t) = \hat{\theta}(t-1) + F(t) + \mathcal{O}(t-1) \varepsilon^0(t) \quad (2.19)$$

atau

$$F(t+1) = F(t) - \frac{F(t) \mathcal{O}(t) \mathcal{O}^T(t) F(t)}{1 + \mathcal{O}^T(t) F(t) \mathcal{O}(t)} \quad (2.20)$$

$$\hat{\theta}(t+1) = \hat{\theta}(t) + \frac{F(t) \mathcal{O}(t) \varepsilon^0(t+1)}{1 + \mathcal{O}^T(t) F(t) \mathcal{O}(t)} \quad (2.21)$$

Matriks $[\mathcal{O}(t) \mathcal{O}^T(t)]$ adalah definit positif, sehingga akan diperoleh kondisi $F(\sim) = 0$. Ini memberikan konsekuensi langsung terhadap sifat estimator parameter $\hat{\theta}(t+1)$ tidak lagi konsisten setelah $t > T\sim$. Dengan kata lain bahwa algoritma penguat adaptasi (2.20) dan algoritma estimator (2.21) setelah $t > T\sim$ tidak mungkin lagi mengikuti perubahan parameter θ ($t > T\sim$).

Untuk mengatasi permasalahan di atas perlu dilakukan modifikasi terhadap algoritma penguat adaptasi. Suatu perbaikan dapat diperoleh dengan pemberian nilai faktor pengabai (forgetting factor) α sehingga penulisan umum

penguat adaptasi menjadi sebagai berikut :

$$F^+(t) = \alpha_1(t) F^+(t-1) + \alpha_2(t) \mathcal{O}(t-1) \mathcal{O}^T(t-1) \quad (2.22)$$

dengan :

$$0 < \alpha_1 \leq 1 ; \quad 0 \leq \alpha_2 < 2 ; \quad F(0) > 0$$

Dengan formulasi (2.22) diperoleh algoritma rekursif penguatan adaptif sebagai berikut :

$$F(t+1) = \frac{1}{\alpha_1(t)} \left\{ F(t) - \frac{F(t) \mathcal{O}(t) \mathcal{O}^T(t) F(t)}{\beta(t) + \mathcal{O}^T(t) F(t) \mathcal{O}(t)} \right\} \quad (2.23)$$

dengan : $\beta(t) = \frac{\alpha_1(t)}{\alpha_2(t)}$

Selanjutnya bergantung pada parameter faktor pengabai $\alpha_1(t)$ dan $\alpha_2(t)$.

Untuk tipe variabel vektor pengabai, parameter $\alpha_1(t)$ dan $\alpha_2(t)$ dibuat sebagai berikut :

$$\alpha_1(t) = \alpha_0 \alpha_1(t-1) + 1 - \alpha_0 \quad (2.24)$$

$$0 < \alpha_0 < 1 \text{ dan } \alpha_1(t) < 1$$

Dalam praktik diambil $\alpha_1(0) = 0,95 \div 0,99$

Struktur algoritma penguat adaptasi dengan demikian menjadi sebagai berikut :

$$F^+(t) = \alpha_1(t) F^+(t-1) + \mathcal{O}(t-1) \mathcal{O}^T(t-1) \quad (2.25)$$

dengan kriteria ekivalen dari estimator adalah :

$$\mathcal{J}(t) = \sum_{i=1}^n \alpha_i^{(t-i)} (i) \{ y(i) - \hat{\theta}^\top(t) \mathcal{O}_e(t-1) \}^2 \quad (2.26)$$

Arti fisis dari algoritma di atas adalah bahwa bobot pada faktor koreksi semakin menurun asimtotik. Algoritma semacam ini dimaksudkan untuk mempercepat terjadinya konvergensi.

Estimasi pada tugas akhir ini menggunakan teknik kuadrat terkecil yang diperluas (*ELS = Extended Least Square*), yaitu sekaligus melakukan estimasi parameter model gangguan sedemikian sehingga diperoleh hasil yang tidak bias, dengan algoritma yang hampir sama dengan estimasi kuadrat terkecil, yaitu :

$$\hat{y}(t) = \hat{\theta}^\top(t) \mathcal{O}_e(t-1) \quad (2.27)$$

$$\hat{\theta}(t) = [a_1 \dots a_{na} \ b_1 \dots b_{nb} \ c_1 \dots c_{nc}]^\top \quad (2.28)$$

$$\begin{aligned} \mathcal{O}_e(t-1) &= [-y(t-1) \dots -y(t-na) \ u(t-1-d) \dots u(t-nb-d) \\ &\quad e(t-1) \dots e(t-nc)]^\top \end{aligned} \quad (2.29)$$

$$e(t) = y(t) - \hat{\theta}^\top(t) \mathcal{O}_e(t-1) \quad (2.30)$$

Selanjutnya estimator kuadrat terkecil dapat digunakan dengan menggantikan $\mathcal{O}(t)$ dengan $\mathcal{O}_e(t)$.

2.3. VARIANSI MINIMUM YANG DIPERUMUM [5]

Perancangan pengendali variansi minimum yang diperumum bertujuan untuk menentukan sinyal pengendali $u(t)$ yang diperoleh dengan meminimumkan kriteria kinerja J_{GMV} agar dicapai pengendalian tegangan dan frekuensi yang optimal.

$$\begin{aligned} J_{GMV} &= E \left[\left(\hat{y}(t+d) - r(t) \right)^2 + \lambda u^2(t) \right] \\ &= \frac{1}{N} \sum_{t=1}^N \left\{ \left(\hat{y}(t+d) - r(t) \right)^2 + \lambda u^2(t) \right\} \\ &= \text{minimum} \end{aligned} \quad (2.31)$$

dengan :

$\hat{y}(t+d)$: prediksi keluaran d langkah

$r(t)$: sinyal acuan keluaran

λ : faktor pembobot sinyal kendali

$E \{ \cdot \}$: ekspektasi statistik dari proses.

Jika diambil sistem pada persamaan (2.1) dan diselesaikan sebagai berikut :

$$y(t) = \frac{B(q^{-1})}{A(q^{-1})} q^{-\alpha} u(t) + \frac{C(q^{-1})}{A(q^{-1})} e(t) \quad (2.32)$$

$$y(t+d) = \frac{B(q^{-1})}{A(q^{-1})} u(t) + \frac{C(q^{-1})}{A(q^{-1})} e(t+d) \quad (2.33)$$

Diperlukan prediksi $y(t+d|t)$ atau prediksi d langkah kemudian dari $y(t)$ jika diberikan informasi hingga t. Untuk mendapatkan $y(t+d|t)$ perhatikan identitas berikut :

$$\frac{C(q^{-1})}{A(q^{-1})} = F(q^{-1}) + q^{-d} \frac{G(q^{-1})}{A(q^{-1})} \quad (2.34)$$

dengan :

$$F(q^{-1}) = 1 + f_1 q^{-1} + f_2 q^{-2} \dots + f_{d-1} q^{-d+1} \quad (2.34.a)$$

$$G(q^{-1}) = g_0 + g_1 q^{-1} + g_2 q^{-2} \dots + g_{n-1} q^{-n+1} \quad (2.34.b)$$

Selanjutnya persamaan (2.34) disubstitusikan ke persamaan (2.33) diperoleh :

$$\hat{y}(t+d) = \frac{B(q^{-1})}{A(q^{-1})} u(t) + F(q^{-1}) e(t+d) + \frac{G(q^{-1})}{A(q^{-1})} e(t) \quad (2.35)$$

$$\begin{aligned} F(q^{-1}) e(t+d) &= (1 + f_1 q^{-1} + f_2 q^{-2} \dots + f_{d-1} q^{-d+1}) e(t+d) \\ &= e(t+d) + f_1 e(t+d-1) + \dots + f_{d-1} e(t+1) \end{aligned} \quad (2.36)$$

Persamaan (2.36) adalah gangguan -gangguan yang tidak diketahui pada saat t. Dengan demikian dapat dimengerti bahwa prediksi keluaran d langkah kemudian menjadi :

$$\hat{y}(t+d | t) = \frac{B(q^{-1})}{A(q^{-1})} u(t) + \frac{G(q^{-1})}{A(q^{-1})} e(t) \quad (2.37)$$

$e(t)$ dapat diperoleh dari persamaan (3.1)

$$e(t) = \frac{A(q^{-1})}{C(q^{-1})} y(t) + \frac{B(q^{-1})}{C(q^{-1})} u(t-d) \quad (2.38)$$

sehingga

$$\begin{aligned}
 y(t+d | t) &= \frac{B(q^{-1})}{A(q^{-1})} u(t) + \frac{G(q^{-1})}{C(q^{-1})} y(t) - \frac{G(q^{-1})}{A(q^{-1})} \frac{B(q^{-1})}{C(q^{-1})} u(t-d) \\
 \hat{y}(t+d | t) &= \frac{B(q^{-1})}{A(q^{-1})} \left[1 - \frac{q^{-d}}{C(q^{-1})} \right] u(t) + \frac{G(q^{-1})}{C(q^{-1})} y(t) \\
 \hat{y}(t+d | t) &= \frac{B(q^{-1}) F(q^{-1})}{C(q^{-1})} u(t) + \frac{G(q^{-1})}{C(q^{-1})} y(t)
 \end{aligned} \tag{2.39}$$

Dengan kesalahan prediksi adalah :

$$\begin{aligned}
 e(t+d) &= y(t+d) - \hat{y}(t+d | t) \\
 &= F(q^{-1}) e(t+d)
 \end{aligned} \tag{2.40}$$

Selanjutnya fungsi kriteria pengendali prediksi d langkah :

$$J_{\text{MV}} = E\{[\hat{y}(t+d | t) + e(t+d) - x(t)]^2 + \lambda u^2(t)\} \tag{2.41}$$

Karena $e(t+d)$ adalah ganguan yang bebas terhadap komponen $\hat{y}(t+d | t)$, maka kriteria menjadi :

$$\begin{aligned}
 J_{\text{MV}} &= E\{[\hat{y}(t+d | t) - x(t)]^2 + \lambda u^2(t)\} + E\{\varepsilon^2(t+d)\} \\
 J_{\text{minimum}} &= E\{\varepsilon^2(t+d)\}
 \end{aligned} \tag{2.42}$$

Hukum kendali $u(t)$ diperoleh dari fungsi kriteria :

$$\frac{\partial J(t)}{\partial u(t)} = 0 \tag{2.43}$$

$$= 2 \{y(t+d | t) - x(t)\} \frac{\partial y(t+d | t)}{\partial u(t)} + 2 \lambda u(t)$$

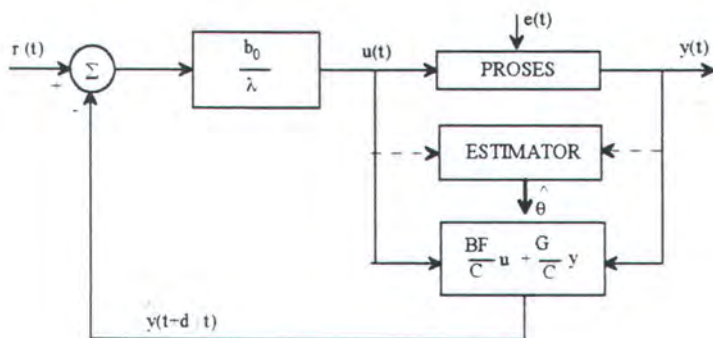
$$\frac{\partial y(t+d | t)}{\partial u(t)} = \frac{\partial}{\partial u(t)} \left[\frac{B(q^{-1}) F(q^{-1})}{C(q^{-1})} u(t) \right]$$

$$\frac{B(q^{-1}) F(q^{-1})}{C(q^{-1})} u(t) = b_0 u(t) + \dots u(t-1) + \dots$$

$$\frac{\partial y(t+d | t)}{\partial u(t)} = b_0$$

$$\begin{aligned} \frac{\partial J(t)}{\partial u(t)} &= 2 b_0 \{ y(t+d|t) - x(t) \} - 2\lambda u(t) = 0 \\ u(t) &= \frac{b_0}{\lambda} \{ x(t) - \hat{y}(t+d|t) \} \end{aligned} \quad (2.44)$$

Dari persamaan (2.39) dan (2.44) dapat dibuat diagram blok pengendali adaptif tegangan dan frekuensi pembangkit listrik seperti pada gambar (2.2). Pada proses P dengan masukan $u(t)$ dan keluaran $y(t)$ serta gangguan $e(t)$ dilakukan identifikasi parameter proses akan menghasilkan menghasilkan estimasi parameter $\hat{\theta}$ yang berisi polinomial A, B dan C. Dari persamaan identitas (2.34) akan diperoleh harga F dan G. Dengan persamaan (2.39) diperoleh prediksi d langkah $\hat{y}(t+d|t)$ dan selanjutnya pengendali $u(t)$ diperoleh dari persamaan (2.44).



Gambar (2.3). Diagram blok pengendali adaptif [5].

Sistem lingkar tertutup diperoleh dengan substitusi persamaan (2.44) ke persamaan (2.1) :

$$x(t) = \left[\frac{q^{-d} B(q^{-1})}{B(q^{-1}) + \lambda A(q^{-1})} \right] x(t) + \left(\frac{B(q^{-1}) F(q^{-1}) + \lambda C(q^{-1})}{B(q^{-1}) + \lambda A(q^{-1})} \right) e(t) \quad (2.45)$$

dengan :

$$\lambda_0 = \frac{\lambda}{b_0}$$

Dari persamaan (2.45) terlihat bahwa dinamika dari sistem kendali ditentukan oleh persamaan karakteristik $(B + \lambda_0 A)$. Dengan demikian pemilihan faktor pembobot lambda akan mempengaruhi kestabilan dari sistem.

Agar tercapai nilai keluaran yang menuju nol pada keadaan tunak untuk perubahan masukan atau gangguan diperlukan aksi kendali integral sehingga faktor pembobot dibuat sebagai berikut :

$$\lambda = \rho (1 - q^{-1}) \quad (2.46)$$

dengan :

$$\rho = \text{konstanta pembobot.}$$

Untuk sistem dengan $b_0 = 0$, hukum kendali (2.44) di atas tidak bisa digunakan karena $u(t) = 0$ setiap saat. Maka dibuatlah modifikasi sebagai berikut :

$$J_{\text{dkv}} = E \{ [y(t+d|t) - x(t)]^2 + \lambda u^2(t-1) \} \quad (2.47)$$

$$\frac{\partial J(t)}{\partial u(t-1)} = 0 \quad (2.48)$$

$$\frac{\partial J(t)}{\partial u(t-1)} = 2(y(t+d|t) - x(t)) \frac{\partial y(t+d|t)}{\partial u(t-1)} + 2\lambda u(t-1)$$

$$\frac{\partial y(t+d|t)}{\partial u(t-1)} = b$$

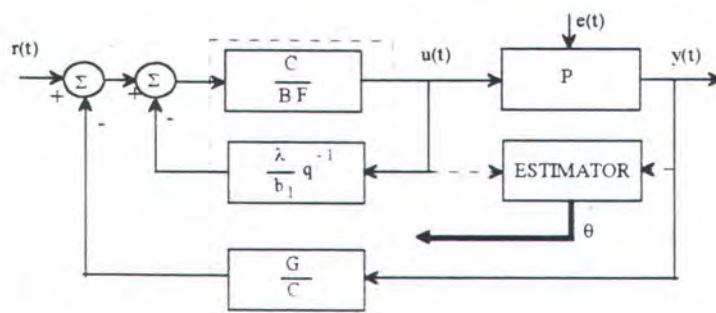
$$\frac{\partial \mathcal{J}(t)}{\partial u(t-1)} = 2b_1 \{y(t+d|t) - r(t)\} + 2\lambda u(t-1) \quad (2.49)$$

$$\frac{\partial \mathcal{J}(t)}{\partial u(t-1)} = 2b_1 \left[\frac{B(q^{-1}) F(q^{-1})}{C(q^{-1})} u(t) + \frac{G(q^{-1})}{C(q^{-1})} y(t) - r(t) \right] + 2\lambda u(t-1)$$

$$2b_1 \left[\frac{B(q^{-1}) F(q^{-1})}{C(q^{-1})} u(t) + \frac{G(q^{-1})}{C(q^{-1})} y(t) - r(t) \right] + 2\lambda u(t-1) = 0$$

$$u(t) = \frac{C(q^{-1})}{B(q^{-1}) F(q^{-1})} \left[r(t) - \left[\frac{\lambda}{b_1} u(t-1) + \frac{G(q^{-1})}{C(q^{-1})} y(t) \right] \right] \quad (2.50)$$

Dengan $u(t-1) = q^{-1} u(t)$, persamaan (2.50) dapat dibuatkan diagram blok pengendali adaptif tegangan dan frekuensi pembangkit listrik (untuk $b_0 = 0$) seperti pada gambar (2.3). Pengendali $u(t)$ diperoleh dari umpan balik keluaran $y(t)$ dan masukan yang digeser 1 langkah serta acuan keluaran $r(t)$ dengan algoritma (2.50). Harga-harga b_1, B, C, F, G diperoleh dari estimasi parameter dan persamaan identitas.



Gambar (2.4). Diagram blok pengendali adaptif tegangan dan frekuensi pembangkit listrik (untuk $b_0 = 0$) [5].



TUGAS AKHIR

BAB III

PEMODELAN DINAMIK LINIER SISTEM PLTU SURALAYA

BAB III

PEMODELAN DINAMIK LINIER

SISTEM PLTU SURALAYA

3.1. MODEL MESIN SINKRON

Dalam bab ini dituangkan model dinamik sistem tenaga listrik mesin tunggal yang meliputi : generator sinkron, sistem turbin dan pengaturannya, dan sistem eksitasi. Model mesin sinkron ini mengacu pada model mesin tunggal yang dihubungkan pada bus tak terhingga yang diperkenalkan oleh De Mello dan Concordia.

3.1.1. Pemodelan Sistem Eksitasi PLTU Suralaya

Sistem eksitasi generator yang ada pada PLTU Suralaya adalah sistem eksitasi brushless yang mengacu pada representasi sistem eksitasi tipe 1 IEEE. Pada sistem eksitasi tipe 1 ini terdapat blok regulator tegangan, regulator stabilitas dan blok eksitasi.

Input model ini adalah sinyal error tegangan terminal V_{err} . Sinyal error ini timbul karena adanya perbedaan tegangan terminal mesin dengan tegangan referensi. Pada titik penjumlahan pertama, sinyal stabilitas umpan balik regulator tegangan V_F menjadi pengurang dan sinyal stabilitas sistem tenaga V_s ditambahkan

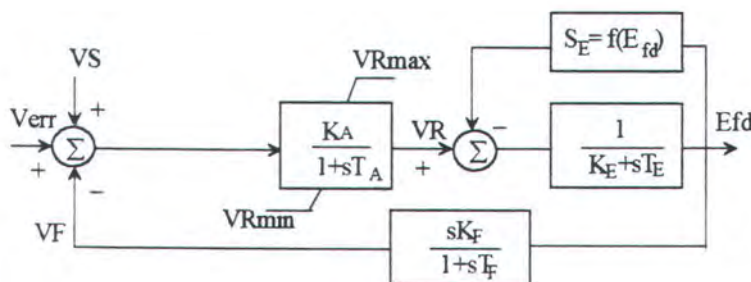
pada V_{err} . Pada keadaan mantap, kedua sinyal ini sama dengan nol. Sinyal yang dihasilkan setelah titik penjumlahan ini diperkuat dalam regulator tegangan, karena menentukan respon tegangan eksitasi dalam keadaan peralihan. Output tegangan V_R dari regulator tegangan dibatasi. Output regulator tegangan VR digunakan untuk mengontrol eksitasi, baik eksitasi penguatan bebas maupun penguatan sendiri.

S_E merepresentasikan saturasi eksiter dan besarnya merupakan fungsi dari tegangan output eksiter E_{fd} ($S_E = f(E_{fd})$). Pada kondisi mantap :

$$V_R - (K_E + S_E)E_{fd} = 0, \quad E_{fd \text{ min}} \leq E_{fd} \leq E_{fd \text{ maks}} \quad (3.1)$$

Pada batas atas, atau $E_{fd} = E_{fd \text{ maks}}$.

$$V_R \text{ maks} - (K_E + S_E \text{ maks})E_{fd \text{ maks}} = 0 \quad (3.2)$$



Gambar 3.1 Eksitasi Tipe I IEEE. [9]

Dalam simulasi kestabilan dinamik ini efek saturasi diperhitungkan karena dengan gangguan yang relatif kecil perubahan tegangan eksitasi dipikirkan sudah

Dengan K_{gu} , T_{gu} , T_m masing-masing merupakan konstanta penguatan pengatur turbin uap, waktu tanggap pengatur turbin uap, dan waktu tanggap turbin uap.

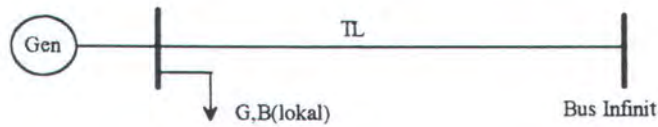
Dari gambar 3.3. dapat dijabarkan menjadi :

$$\dot{\Delta T_m} = \frac{\Delta Y}{T_{tu}} - \frac{\Delta T_m}{T_{tu}} \quad (3.3)$$

$$\dot{\Delta Y} = \frac{K_{gu}\Delta U}{T_{gu}} - \frac{K_{gu}\Delta\omega}{T_{gu}R} - \frac{\Delta Y}{T_{gu}} \quad (3.4)$$

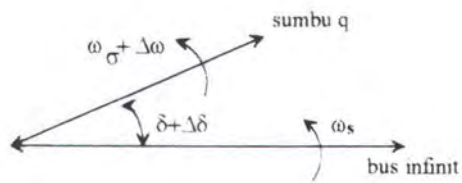
3.1.3. Persamaan Dasar Torsi Mekanik

Model mesin sinkron untuk model satu mesin terhubung ke infinit bus mengacu pada model yang diturunkan oleh De Mello dan Concordia.



Gambar 3.4: Sistem mesin tunggal terhubung dengan infinit bus [1]

Diagram phasor untuk perubahan sudut rotor yang disebabkan oleh perubahan kecepatan putaran turbin dapat digambarkan sebagai berikut :



Gambar 3.5. Phasor perubahan sudut rotor [10]

sehingga dapat diturunkan rumus :

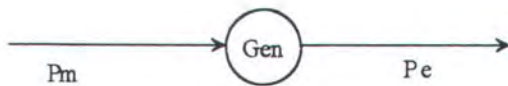
$$\frac{d\Delta\delta}{dt} = \omega_s \Delta\omega \quad (3.5)$$

dengan,

$\Delta\omega$: perubahan kecepatan rotor

$\Delta\delta$: perubahan kedudukan rotor mesin serempak

ω_s : kecepatan sinkron



Gambar 3.6. Skema daya input output generator [10]

persamaan torsi mekanik dan elektris dapat diturunkan sebagai berikut :

$$T_m - T_e = J \frac{d\omega}{dt} + D\omega \quad (3.6)$$

sedang persamaan torsi dasarnya :

$$T_b = \frac{P_e}{\omega_b} ; \quad \omega_b = \omega_s \quad (3.7)$$

$$\frac{T_m}{T_b} - \frac{T_e}{T_b} = J \frac{\omega_s}{T_b} \frac{d\frac{\omega}{\omega_s}}{dt} + \frac{D\omega_s}{T_b} \frac{\omega}{\omega_s}$$

$$T_m - T_e = M \frac{d\omega}{dt} + D\omega \quad (3.8)$$

dengan

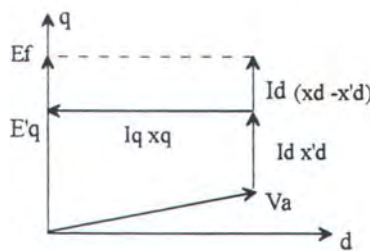
$$M = J \frac{d^2\omega}{P_e} ; \quad D = \frac{D^2\omega_s}{P_e} \quad (3.9)$$

Setelah dilinierisasi,

$$\Delta T_m - \Delta T_e = M \frac{d\Delta\omega}{dt} + D\Delta\omega \quad (3.10)$$

3.1.4. Persamaan Dasar Medan

Agar mudah memahami penurunan persamaan medan, terlebih dahulu diperlihatkan gambar diagram phasor arus dan tegangan mesin sinkron sebagai berikut :



Gambar 3.7. Diagram phasor arus dan tegangan mesin sinkron [10]

Dari diagram phasor arus dan tegangan mesin sinkron diatas diperoleh :

$$E'_q = E_f - I_d (x_d - x'_d) \quad (3.11)$$

$$E_f = \omega L_{af} \frac{i_f}{\sqrt{2}} = \lambda_{af} I_f \quad (3.12)$$

$$x_d = x_d - \frac{3x_{af}^2}{2x_f}; x_d - x'_d = \frac{3x_{af}^2}{x_f} \quad (3.13)$$

Dari ketiga persamaan diatas, diperoleh :

$$E'_q = x_{af} I_f - \frac{3x_{af}^2}{2x_f} I_d \quad (3.14)$$

$$E'_q = \frac{x_{af}}{x_f} \left(x_f I_f - \frac{3}{2} x_{af} I_d \right) \quad (3.15)$$

Untuk menyelesaikan persamaan di atas, harus diketahui persamaan fluksi medan, yaitu sebagai berikut :

$$\psi_f = L_{af} i_f + \frac{3}{2} L_{af} i_d \quad (3.16)$$

$$\frac{\omega}{2} \psi_f = x_f I_f - \frac{3}{2} x_{af} I_d \quad (3.17)$$

dengan memasukkan persamaan diatas ke dalam persamaan E'_q , akan diperoleh :

$$E'_q = \frac{X_{af}}{X_f} - \frac{\omega \psi_f}{\sqrt{2}} \quad (3.18)$$

atau persamaan medannya adalah :

$$V_f = \frac{d\psi_f}{dt} + X_f i_f \quad (3.19)$$

$$V_f = \frac{\sqrt{2} X_f}{\omega X_{af}} \frac{dE'_q}{dt} + X_f i_f \quad (3.20)$$

maka

$$\frac{X_{af}}{\sqrt{2} X_f} V_f = \frac{X_f}{\omega X_f} \dot{Eq}' + \frac{X_{af}}{\sqrt{2}} i_f \quad (3.21)$$

dengan persamaan ekivalen dinamik tegangan eksitasi adalah

$$\frac{X_{af}}{\sqrt{2} X_f} V_f = E_{fd} \quad (3.22)$$

Dan persamaan konstanta waktu peralihan medan eksitasi (field time constant) adalah :

$$\frac{X_f}{\omega X_f} = T_{dc} \quad (3.23)$$

dengan,

$$\frac{X_{af}}{\sqrt{2}} i_f = E_f \quad (3.24)$$

Dengan demikian persamaan medan dapat dituliskan sebagai berikut :

$$E_{fd} = T_{dc} \dot{Eq}' + E_f \\ E_{fd} = T_{dc} \dot{Eq}' + E_q' + (x_d - x'_d) \Delta I_d \quad (3.25)$$

Setelah dilinierisasi diperoleh

$$\Delta E_{fd} = T_{dc} \Delta \dot{Eq}' + \Delta E_q' + (x_d - x'_d) \Delta I_d \quad (3.26)$$

3.1.5. Persamaan Tegangan Terminal

Tegangan terminal pada bus dalam koordinat d - q adalah sebagai berikut :

$$\bar{V}_t = \bar{V}_d + \bar{V}_q \quad (3.27)$$

$$V_t^2 = V_d^2 + V_q^2 \quad (3.28)$$

dengan melinierisasi persamaan tegangan terminal ini, diperoleh :

$$V_t \Delta V_t = V_d \Delta V_d + V_q \Delta V_q \quad (3.29)$$

$$V_d = x_q I_q \quad (3.31)$$

$$\Delta V_d = x_q \Delta I_q \quad (3.32)$$

$$V_q = E_q - x_d I_d \quad (3.33)$$

$$V_q = E'_q - x'_d I_d \quad (3.34)$$

$$\Delta V_q = \Delta E'_q - x'_d \Delta I_d \quad (3.35)$$

maka persamaan tegangan terminal menjadi :

$$V_t \Delta V_t = V_d x_q \Delta I_q + V_q \Delta E'_q - V_q x'_d \Delta I_d \quad (3.36)$$

MILIK PERPUSTAKAAN
INSTITUT TEKNOLOGI
SEPULUH NOPEMBER



3.1.6. Persamaan Daya Elektrik

Persamaan daya elektrik dapat dijelaskan sebagai berikut :

$$T_e = P_e \quad (3.37)$$

$$P_e = R i i l \quad (VI^*)$$

$$P_e = R i i l [(V_d + j V_q) (I_d + j I_q)]$$

$$P_e = V_d I_q + V_q I_d \quad (3.38)$$

dengan,

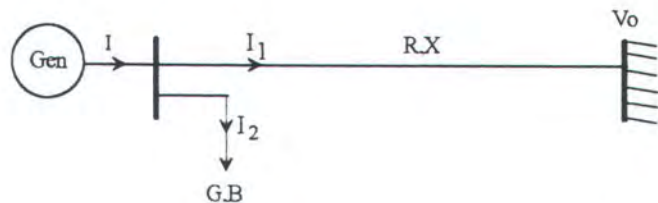
$$\Delta Te = \Delta Pe = VdId + Id\Delta Vd + VqIq + Iq\Delta Vq \quad (3.39)$$

sehingga diperoleh persamaan daya elektrik

$$\Delta P_e = (V_d - x'_d I_q) \Delta I_d + (V_q + x_q I_d) \Delta I_q + I_q \Delta E'_q \quad (3.40)$$

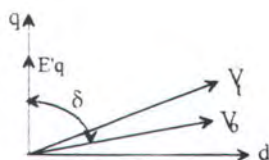
3.1.7. Persamaan Arus

Di bawah ini adalah diagram segaris dari sistem mesin tunggal terhubung dengan bus tak terhingga dan beban lokal :



Gambar 3.8.a. Rangkain sistem mesin tunggal [10]

Sedangkan diagram phasornya dapat dilihat pada gambar dibawah ini :



Gambar 3.8.b. Diagram phasor mesin tunggal [10]

persamaan arus sistem mesin tunggal dapat diuraikan sebagai berikut :

$$I = I_1 + I_2 \quad (3.41)$$

$$I_1 = \frac{(V_t - V_0)}{Z} \quad (3.42)$$

$$I_2 = Y V_t \quad (3.43)$$

$$I = \left(\frac{1}{Z} + Y V_t\right) - \left(\frac{1}{Z} V_0\right) \quad (3.44)$$

$$ZI = (1 + Y Z) V_t - V_0 \quad (3.45)$$

dengan,

$$Z = R + jX \quad (3.46)$$

$$Y = G + jB \quad (3.47)$$

$$I = I_d + jI_q \quad (3.48)$$

$$1 + YZ = C_I + jC_Q \quad (3.49)$$

$$V_t = V_d + jV_q \quad (3.50)$$

$$V_0 = V_0 (\sin \delta + j \cos \delta) \quad (3.51)$$

dengan memasukkan persamaan-persamaan di atas ke dalam persamaan arus, akan diperoleh :

$$(R + jX)(I_d + jI_q) = (C_I + jC_Q)(V_d + jV_q) \\ - V_0 (\sin \delta + j \cos \delta) \quad (3.52)$$

maka komponen riil :

$$RI_d + XI_d = C_I V_d + C_Q V_q - V_0 \sin \delta \quad (3.53)$$

komponen imajiner :

$$XI_d + RI_d = C_I V_d + C_Q V_q - V_0 \cos \delta \quad (3.54)$$

Dalam bentuk persamaan matriks dapat dituliskan sebagai berikut :

$$\begin{bmatrix} R & -X \\ X & R \end{bmatrix} \begin{bmatrix} I_d \\ I_q \end{bmatrix} = \begin{bmatrix} C_1 & -C_2 \\ C_2 & C_1 \end{bmatrix} \begin{bmatrix} V_d \\ V_q \end{bmatrix} - V_0 \begin{bmatrix} \sin\delta \\ \cos\delta \end{bmatrix} \quad (3.55)$$

dengan,

$$\begin{bmatrix} V_d \\ V_q \end{bmatrix} = \begin{bmatrix} 0 & X_d \\ -X'_d & 0 \end{bmatrix} \begin{bmatrix} I_d \\ I_q \end{bmatrix} + \begin{bmatrix} 0 \\ E'_q \end{bmatrix} \quad (3.56)$$

maka persamaan matriks arus menjadi :

$$\begin{bmatrix} I_d \\ I_q \end{bmatrix} = \begin{bmatrix} Y_1 \\ Y_2 \end{bmatrix} E'q - \frac{V_0}{W} \begin{bmatrix} R_2 & X_2 \\ -X_1 & R_1 \end{bmatrix} \begin{bmatrix} \sin\delta \\ \cos\delta \end{bmatrix} \quad (3.57)$$

dengan,

$$R_1 = R - C_2 X'_d \quad (3.58)$$

$$R_2 = R - C_2 X_q \quad (3.59)$$

$$X_1 = X + C_1 X'_d \quad (3.60)$$

$$X_2 = X + C_1 X_q \quad (3.61)$$

$$Y_1 = \frac{(X_2 C_1 - R_2 C_2)}{W} \quad (3.62)$$

$$Y_2 = \frac{(X_1 C_2 + R_1 C_1)}{W} \quad (3.63)$$

$$W = R_1 R_2 + X_1 X_2 \quad (3.64)$$

Persamaan matriks arus, setelah disederhanakan dan dilinierisasi :

$$\begin{bmatrix} \Delta I_d \\ \Delta I_q \end{bmatrix} = \begin{bmatrix} Y_1 \\ Y_2 \end{bmatrix} \Delta E'_q + \begin{bmatrix} F_d \\ F_q \end{bmatrix} \Delta \delta \quad (3.65)$$

dengan,

$$\begin{bmatrix} F_d \\ F_q \end{bmatrix} = \frac{-V_0}{W} \begin{bmatrix} R_2 & X_2 \\ -X_1 & R_1 \end{bmatrix} \begin{bmatrix} \cos\delta \\ -\sin\delta \end{bmatrix} \quad (3.66)$$

Persamaan arus ΔI_d , ΔI_q di atas sangat dibutuhkan untuk menyelesaikan persamaan-dasar 3.26, 3.36 dan 3.40. Oleh karena itu persamaan arus tersebut merupakan satu kesatuan dengan persamaan-persamaan dasar yang telah dijelaskan sebelumnya.

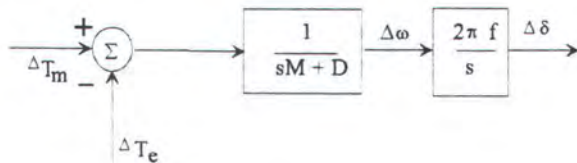
3.1.8. Pemodelan Persamaan Elektromekanik

Dengan menggunakan transformasi Laplace pada persamaan-persamaan dasar 3.5 dan 3.10 diperoleh :

$$\Delta\delta = \frac{2\pi f}{s} \Delta\omega \quad (3.67)$$

$$\Delta T_m - \Delta T_e = (sM + D) \Delta\omega \quad (3.68)$$

diagram blok loop mekanik mesin sinkron dapat digambarkan seperti dibawah ini



Gambar 3.9. Diagram blok loop mekanik mesin [10]

3.1.9. Pemodelan Persamaan Tegangan Terminal

Dengan memasukkan persamaan arus ke dalam persamaan dasar 3.9, akan diperoleh :

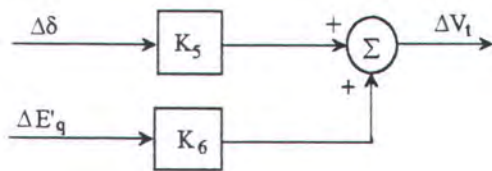
$$\Delta V_t = K_v \Delta\delta + K_e \Delta E'_e \quad (3.69)$$

dengan,

$$K_5 = \frac{(V_d X_q F_q - V_q X'_d F_d)}{V_T} \quad (3.70)$$

$$K_6 = \frac{V_d X_q Y_2 + V_q (1 - X'_d Y_1)}{V_T} \quad (3.71)$$

sehingga diagram bloknya dapat digambarkan sebagai berikut:



Gambar 3.10. Diagram blok tegangan terminal [10]

3.1.10. Pemodelan Persamaan Daya Elektrik

Dengan memasukkan persamaan arus ke dalam persamaan dasar 3.40 akan diperoleh :

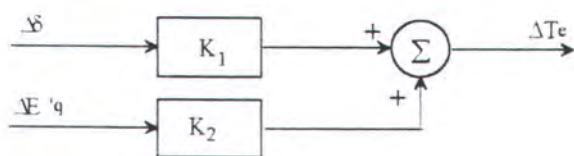
$$\Delta T_e = K_1 \Delta \delta + K_2 \Delta E'q \quad (3.72)$$

dengan,

$$K_1 = (x_q - x'_d) I_q F_d + [E'_q + (x_q - x'_d) I_d] F_q \quad (3.73)$$

$$K_2 = [1 + (x_q - x'_d) Y_1] I_q + [E'_q + (x_q - x'_q) I_d] Y_2 \quad (3.74)$$

Blok diagram persamaan torsi elektrik dapat digambarkan seperti di bawah ini :



Gambar 3.11. Diagram blok torsi mekanik [10]

3.1.11. Pemodelan Persamaan Medan

Dengan menggunakan transformasi Laplace, bentuk persamaan medan akan menjadi :

$$\begin{aligned}\Delta E_{fd} &= T'_{do} s \Delta E'_{q} + \Delta E'_{q} + (x_d - x'_{do}) \\ \Delta E_{fd} &= (1 + s T'_{do}) \Delta E'_{q} + (x_d - x'_{do}) \Delta I_d\end{aligned}\quad (3.75)$$

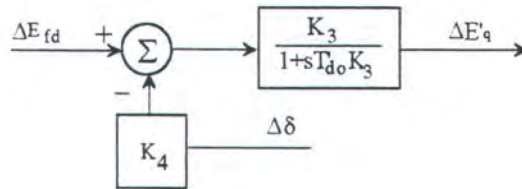
Dengan menggantikan ΔI_d dan mendefinisikan :

$$K_3 \approx \frac{1}{1 + (x_d - x'_{do}) Y_1} T'_{do} \quad (3.76)$$

diperoleh persamaan medan :

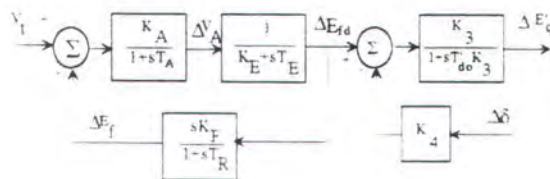
$$\Delta E'_q = \frac{K_3}{1 + s T'_{do} K_3} (\Delta E_{fd} - K_4 \Delta \delta) \quad (3.77)$$

dan blok diagramnya dapat digambarkan sebagai berikut



Gambar 3.12. Diagram blok tegangan peralihan mesin sinkron [10]

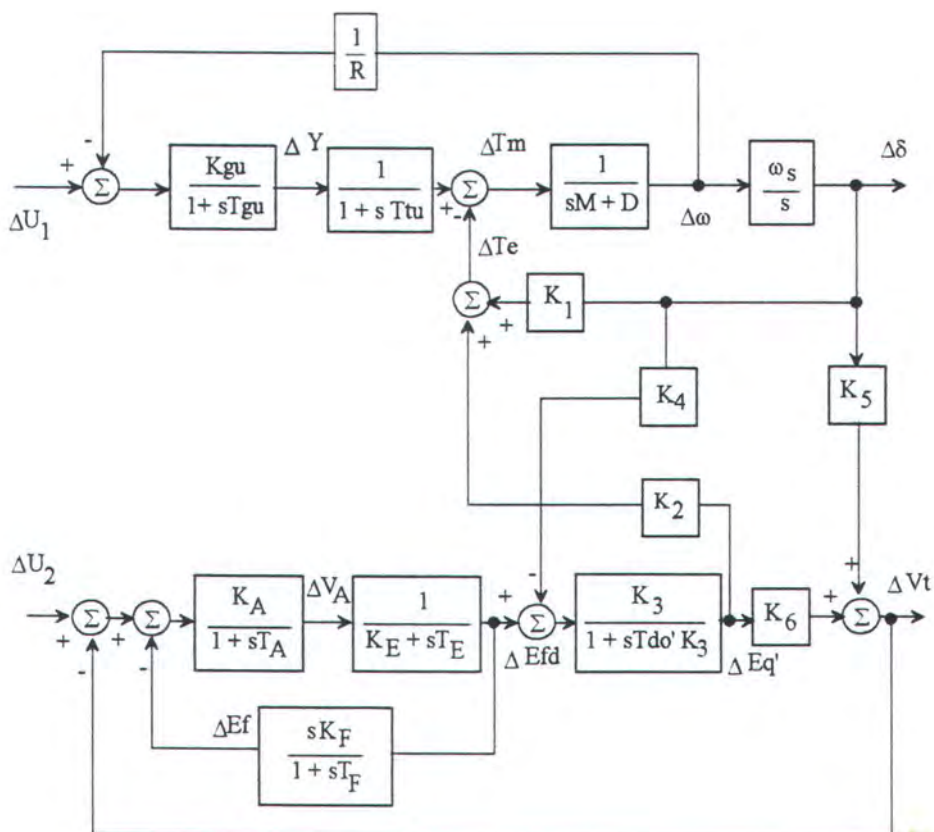
ΔE_{fd} adalah keluaran dari sistem eksitasi. Dari gambar 3.12 dapat digambarkan blok diagram untuk regulator tegangan dan sistem eksitasi sebagai berikut :



Gambar 3.13. Diagram blok regulator tegangan dan sistem eksitasi

3.1.12. Model Linier Mesin Tunggal Keseluruhan

Dari blok- blok diagram di atas dapat disusun model linier mesin tunggal keseluruhan seperti di bawah ini :



Gambar 3.14. Diagram lengkap model mesin tunggal dengan turbin uap

Dari blok diagram diatas dapat disusun persamaan-persamaan keadaan sistem mesin tunggal yang terhubung dengan infinit bus, dengan susunan variabel keadaan untuk sistem keseluruhan adalah ΔY sebagai perubahan level katup.

ΔT_m sebagai perubahan torsi mekanik, $\Delta\delta$ sebagai perubahan sudut rotor, $\Delta\omega$ sebagai perubahan kecepatan sudut, $\Delta E'_q$ sebagai perubahan tegangan generator, ΔE_{fd} sebagai perubahan tegangan medan, ΔE_f sebagai perubahan tegangan $\Delta E'_q$ ke arah eksitasi setelah difilter, ΔE_f sebagai perubahan tegangan ke arah eksitasi setelah dikuatkan. Variabel masukan untuk mesin terdiri dari dua masukan yaitu sinyal masukan ΔU_1 , diumpulkan ke sisi turbin dan sinyal masukan ΔU_2 , diumpulkan ke sisi eksitasi. Variabel keluaran berupa ΔY , ΔT_m , ΔP_e (perubahan daya listrik), $\Delta\omega$, ΔV_t (perubahan tegangan terminal), ΔE_{fd} , ΔE_f dan ΔV_A .

3.2. PERSAMAAN KEADAAN DAN PERSAMAAN OUTPUT

Bentuk umum persamaan matrik keadaan sistem dapat ditulis sebagai berikut :

$$\begin{bmatrix} \dot{x}_1 \\ \vdots \\ \dot{x}_2 \\ \vdots \\ \dot{x}_3 \\ \vdots \\ \dot{x}_4 \\ \vdots \\ \dot{x}_5 \\ \vdots \\ \dot{x}_6 \\ \vdots \\ \dot{x}_7 \\ \vdots \\ \dot{x}_8 \end{bmatrix} = \begin{bmatrix} \dot{\Delta Y} \\ \vdots \\ \dot{\Delta T_m} \\ \vdots \\ \dot{\Delta\delta} \\ \vdots \\ \dot{\Delta\omega} \\ \vdots \\ \dot{\Delta E'_q} \\ \vdots \\ \dot{\Delta E_{fd}} \\ \vdots \\ \dot{\Delta E_f} \\ \vdots \\ \dot{\Delta V_A} \end{bmatrix} = \begin{bmatrix} a_{11} & a_{12} & \dots & a_{18} \\ \dots & \dots & \dots & \dots \\ \dots & \dots & \dots & \dots \\ a_{81} & \dots & \dots & a_{88} \end{bmatrix} \begin{bmatrix} \Delta Y \\ \Delta T_m \\ \Delta\delta \\ \Delta\omega \\ \Delta E'_q \\ \Delta E_{fd} \\ \Delta E_f \\ \Delta V_A \end{bmatrix} + \begin{bmatrix} b_{11} & b_{12} \\ \dots & \dots \\ b_{81} & b_{82} \end{bmatrix} \begin{bmatrix} \Delta U_1 \\ \Delta U_2 \end{bmatrix}$$

3.2.1. Komponen Matriks A

Persamaan keadaan untuk mencari nilai matriks A (matriks variabel keadaan) dapat diturunkan sebagai berikut (dengan asumsi $\Delta U = 0$) :

$$1). \quad \Delta Y = -\frac{1}{R} \Delta \omega \frac{K_{gu}}{1 + sT_{gu}} = \frac{-K_{gu}}{R + R T_{gu} s} \Delta \omega \quad (3.78)$$

$$\Delta Y R + \Delta Y s R T_{gu} = -K_{gu} \Delta \omega$$

$$\Delta Y R T_{gu} + \Delta Y R = -K_{gu} \Delta \omega.$$

$$\Delta Y = \frac{-1}{T_{gu}} \Delta Y + \frac{(-K_{gu})}{R T_{gu}} \Delta \omega \quad (3.79)$$

$$2). \quad \Delta T_m = \frac{1}{1 + sT_{tu}} \Delta Y. \quad (3.80)$$

$$\Delta T_m (1 + sT_{tu}) = \Delta Y$$

$$\Delta T_m + s\Delta T_m T_{tu} = \Delta Y$$

$$\Delta T_m = \frac{1}{T_{tu}} \Delta Y - \frac{1}{T_{tu}} \Delta T_m \quad (3.81)$$

$$3). \quad \Delta \delta = \Delta \omega \frac{\omega_0}{s} \quad (3.82)$$

$$\Delta \delta s = \omega_0 \Delta \omega$$

$$\Delta \delta = \omega_0 \Delta \omega \quad (3.83)$$

$$4). \quad \Delta \omega = (\Delta T_m - \Delta T_e) \frac{1}{sM + D} \quad (3.84)$$

$$\Delta \omega = (-K_1 \Delta \delta - K_2 \Delta E'_q + \Delta T_m) \frac{1}{sM + D}$$

$$\Delta \omega s M + \Delta \omega D = -K_1 \Delta \delta - K_2 \Delta E'_q + \Delta T_m$$

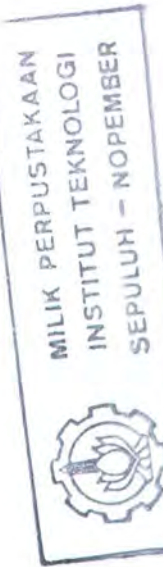
$$\Delta \omega = \frac{1}{M} \Delta T_m - \frac{K_1}{M} \Delta \delta - \frac{D}{M} \Delta \omega - \frac{K_2}{M} \Delta E'_q \quad (3.85)$$

$$5). \quad \Delta E'_q = (-K_4 \Delta \delta + \Delta E'_{12}) \frac{K_3}{1 + sT'_{22} K_3} \quad (3.86)$$

$$\Delta E'_q (1 + sT'_{22} K_3) = -K_4 K_3 \Delta \delta + K_3 \Delta E'_{12}$$

$$\Delta E'_q + \Delta E'_{12} s T'_{22} K_3 = -K_4 K_3 \Delta \delta + K_3 \Delta E'_{12}$$

$$\Delta E'_q = -\frac{K_4}{T'_{22}} \Delta \delta + \frac{1}{T'_{22}} \Delta E'_{12} - \frac{1}{K_3 T'_{22}} \Delta E'_{12} \quad (3.87)$$



$$6) . \quad \Delta E_{fd} = \frac{1}{K_E + sT_E} \Delta V_A \quad (3.88)$$

$$\Delta E_{fd} (K_E + sT_E) = \Delta V_A$$

$$\Delta E_{fd} K_E + \Delta E_{fd} s T_E = \Delta V_A$$

$$\dot{\Delta E}_{fd} = \frac{1}{T_E} \Delta V_A - \frac{K_E}{T_E} \Delta E_{fd} \quad (3.89)$$

$$7) . \quad \Delta E_f = \Delta E_{fd} \frac{sK_F}{1 + sT_F} \quad (3.90)$$

$$\Delta E_f + \Delta E_f s T_F = \Delta E_{fd} s K_F$$

$$\Delta E_f s T_F = -\Delta E_f + \left(\frac{1}{T_E} \Delta V_A - \frac{K_E}{T_E} \Delta E_{fd} \right) K_F$$

$$\dot{\Delta E}_f = \frac{K_E K_F}{T_E T_F} \Delta E_{fd} - \frac{1}{T_F} \Delta E_f + \frac{K_F}{T_E T_F} \Delta V_A \quad (3.91)$$

$$8) \quad \Delta V_A = (\Delta V_t - \Delta E_f) \frac{K_A}{1 + sT_A} \quad (3.92)$$

$$\Delta V_A = (K_5 \Delta \delta + K_6 \Delta E'_Q - \Delta E_f) \frac{K_A}{1 + sT_A}$$

$$\Delta V_A + \Delta V_A s T_A = K_5 K_A \Delta \delta + K_6 K_A \Delta E'_Q - \Delta E_f K_A$$

$$\dot{\Delta V}_A = \frac{K_5 K_A}{T_A} \Delta \delta + \frac{K_6 K_A}{T_A} \Delta E'_Q - \frac{K_A}{T_A} \Delta E_f - \frac{-1}{T_A} \Delta V_A \quad (3.93)$$

Dari persamaan 3.78 sampai 3.93 di atas, komponen matriks variabel keadaaan [A] dapat dituliskan seperti di bawah ini, dimana matriks yang tidak tercantum berharga nol.

$$\begin{aligned} a(1,1) &= \frac{-1}{T_{gu}} & ; \quad a(1,4) &= \frac{-K_{gu}}{R T_{gu}} & ; \quad a(2,1) &= \frac{1}{T_{zu}} & ; \quad a(2,2) &= \frac{1}{T_{zu}} & ; \\ a(3,4) &= \omega_0 & ; \quad a(4,2) &= \frac{1}{M} & ; \quad a(4,3) &= \frac{-K_1}{M} & ; \quad a(4,4) &= \frac{-D}{M} & ; \\ a(4,5) &= \frac{-K_2}{M} & ; \quad a(5,3) &= \frac{-K_4}{T'_{zc}} & ; \quad a(5,5) &= \frac{-1}{K_1 T'_{zc}} & ; \quad a(5,6) &= \frac{1}{T'_{zc}} & ; \\ a(6,6) &= \frac{-K_E}{T_E} & ; \quad a(6,8) &= \frac{1}{T_F} & ; \quad a(7,6) &= \frac{-K_E K_F}{T_E T_F} & ; \quad a(7,7) &= \frac{-1}{T_F} & ; \\ a(7,8) &= \frac{K_F}{T_F T_E} & ; \quad a(8,3) &= \frac{K_1 K_2}{T_z} & ; \quad a(8,5) &= \frac{K_1 K_A}{T_z} & ; \quad a(8,7) &= \frac{-K_2}{T_z} & ; \\ a(8,8) &= \frac{-1}{T_z} & \end{aligned}$$

Dalam bentuk matrik :

$$A = \begin{bmatrix} \frac{-1}{T_{gu}} & 0 & 0 & \frac{-K_{gu}}{R T_{gu}} & 0 & 0 & 0 & 0 \\ \frac{-1}{T_{tu}} & 0 & 0 & 0 & 0 & 0 & 0 & 0 \\ 0 & 0 & 0 & \omega_0 & 0 & 0 & 0 & 0 \\ 0 & \frac{1}{M} & \frac{-K_1}{M} & \frac{-D}{M} & \frac{-K_2}{M} & 0 & 0 & 0 \\ 0 & 0 & \frac{-K_4}{T'_{do}} & 0 & \frac{-1}{K_3 T'_{do}} & \frac{1}{T_{do}} & 0 & 0 \\ 0 & 0 & 0 & 0 & 0 & \frac{-K_E}{T_E} & 0 & \frac{1}{T_E} \\ 0 & 0 & 0 & 0 & 0 & \frac{-K_F}{T_F} & \frac{-1}{T_F} & \frac{K_E}{T_F T_E} \\ 0 & 0 & \frac{K_5 K_A}{T_A} & 0 & \frac{K_6 K_A}{T_A} & 0 & \frac{-K_A}{T_A} & \frac{-1}{T_A} \end{bmatrix}$$

3.2.2. Komponen Matriks B

Untuk mencari matriks masukan yaitu dengan mencari persamaan keadaan, dengan menambahkan nilai ΔU , sehingga kita akan mendapatkan persamaan keadaan yang terdiri dari variabel keadaan yang sama dengan persamaan keadaan komponen matriks A ditambah dengan variabel kontrol (masukan). Konstanta variabel kontrol inilah yang kita buat matriks masukannya. Persamaan keadaan untuk mencari nilai matriks B (matriks variabel keadaan) dapat diturunkan sebagai berikut dengan mengikuti sertakan variabel ΔU .

$$1). \quad \Delta Y = \frac{K_{gu}}{1 + s T_{gu}} \left(\Delta U_1 - \frac{\Delta \omega}{R} \right) \quad (3.94)$$

$$\begin{aligned} \Delta Y + s \Delta Y T_{gu} &= K_{gu} \Delta U_1 - \frac{K_{gu}}{R} \Delta \omega \\ \Delta Y^* &= \frac{K_{gu}}{T_{gu}} \Delta U_1 - \frac{K_{gu}}{T_{gu} R} \Delta \omega - \frac{1}{T_{gu}} \Delta Y \end{aligned} \quad (3.95)$$

$$2). \quad \Delta V_A = (\Delta U_c + \Delta V_T - \Delta E_f) \frac{K_A}{1 + \frac{S}{ST_L}} \quad (3.96)$$

$$\Delta V_A \left(1 + s T_A \right) = K_A \Delta U_2 + K_A K_5 \Delta \delta + K_6 K_A \Delta E'_Q - K_A \Delta E_f$$

$$\Delta V_A = \frac{K_A}{T_A} \Delta U_2 + \frac{K_5 K_A}{T_A} \Delta \delta + \frac{K_6 K_A}{T_A} \Delta E'_g$$

$$- \frac{K_A}{T_A} \Delta E_f - \frac{1}{T_A} \Delta V_A \quad (3.97)$$

Persamaan di atas sama dengan persamaan untuk mencari komponen matriks A (untuk variabel ΔY dan ΔV_A) dengan tambahan variabel ΔU . Sehingga nilai komponen matriks masukan (matriks B) dapat dituliskan sebagai berikut :

$$b(1,1) = \frac{K_{gu}}{T_{gu}} ; \quad b(2,1) = 0 ; \quad b(3,1) = 0 ; \quad b(4,1) = 0 ; \quad b(5,1) = 0 ;$$

$$b(6,1) = 0 ; \quad b(7,1) = 0 ; \quad b(8,1) = 0 ; \quad b(1,2) = 0 ; \quad b(2,2) = 0 ;$$

$$b(3,2) = 0 ; \quad b(4,2) = 0 ; \quad b(5,2) = 0 ; \quad b(6,2) = 0 ; \quad b(7,2) = 0 ;$$

$$b(8,2) = \frac{K_A}{T_A} .$$

Dalam bentuk matriks :

3.2.3. Komponen Matriks C

Pada variabel keluaran, variabel-variabel sudut rotor dan tegangan peralihan diganti dengan variabel daya listrik dan tegangan terminal generator, karena variabel tersebut sulit untuk diukur. Persamaan keadaan untuk mencari nilai matriks C dapat diturunkan sebagai berikut :

$$1). \Delta Y = \Delta Y \quad (3.98)$$

$$2). \Delta T_m = \Delta T_m \quad (3.99)$$

$$3). \Delta P_e = \Delta T_e = K_1 \Delta \delta + K_2 \Delta E'_g \quad (3.100)$$

$$4). \Delta \omega = \Delta \omega \quad (3.101)$$

$$5). \Delta V_t = K_5 \Delta \delta + K_6 \Delta E'_g \quad (3.102)$$

$$6). \Delta E_{fd} = \Delta E_{fd} \quad (3.103)$$

$$7). \Delta E_f = \Delta E_f \quad (3.104)$$

$$8). \Delta V_A = \Delta V_A \quad (3.105)$$

Bentuk umum persamaan matriks pengukuran [9] :

$$\begin{bmatrix} Y_1 \\ Y_2 \\ Y_3 \\ Y_4 \\ Y_5 \\ Y_6 \\ Y_7 \\ Y_8 \end{bmatrix} = \begin{bmatrix} \Delta Y \\ \Delta T_m \\ \Delta P_e \\ \Delta \omega \\ \Delta V_t \\ \Delta E_{fd} \\ \Delta E_f \\ \Delta V_A \end{bmatrix} = \begin{bmatrix} c_{11} & \dots & \dots & c_{18} \\ \dots & \dots & \dots & \dots \\ \dots & \dots & \dots & \dots \\ c_{81} & \dots & \dots & c_{88} \end{bmatrix} \begin{bmatrix} \Delta Y \\ \Delta T_m \\ \Delta \delta \\ \Delta \omega \\ \Delta E'_g \\ \Delta E_{fd} \\ \Delta E_f \\ \Delta V_A \end{bmatrix}$$

sehingga komponen matriks C dapat dituliskan seperti dibawah ini, dimana matriks yang tidak tercantum berharga nol

$$c(1, 1) = 1; \quad c(2, 2) = 1; \quad ; c(3, 3) = K_1; \quad ; c(3, 5) = K_2; \quad ; c(4, 4) = 1;$$

$$c(5, 3) = K_5; c(5, 5) = K_6; c(6, 6) = 1; c(7, 7) = 1; c(8, 8) = 1.$$

dalam bentuk matriks :

$$C = \begin{bmatrix} 1 & 0 & 0 & 0 & 0 & 0 & 0 & 0 \\ 0 & 1 & 0 & 0 & 0 & 0 & 0 & 0 \\ 0 & 0 & K_1 & 0 & K_2 & 0 & 0 & 0 \\ 0 & 0 & 0 & 1 & 0 & 0 & 0 & 0 \\ 0 & 0 & K_5 & 0 & K_6 & 0 & 0 & 0 \\ 0 & 0 & 0 & 0 & 0 & 1 & 0 & 0 \\ 0 & 0 & 0 & 0 & 0 & 0 & 1 & 0 \\ 0 & 0 & 0 & 0 & 0 & 0 & 0 & 1 \end{bmatrix}$$



TUGAS AKHIR

BAB IV

SIMULASI DAN ANALISIS

BAB IV

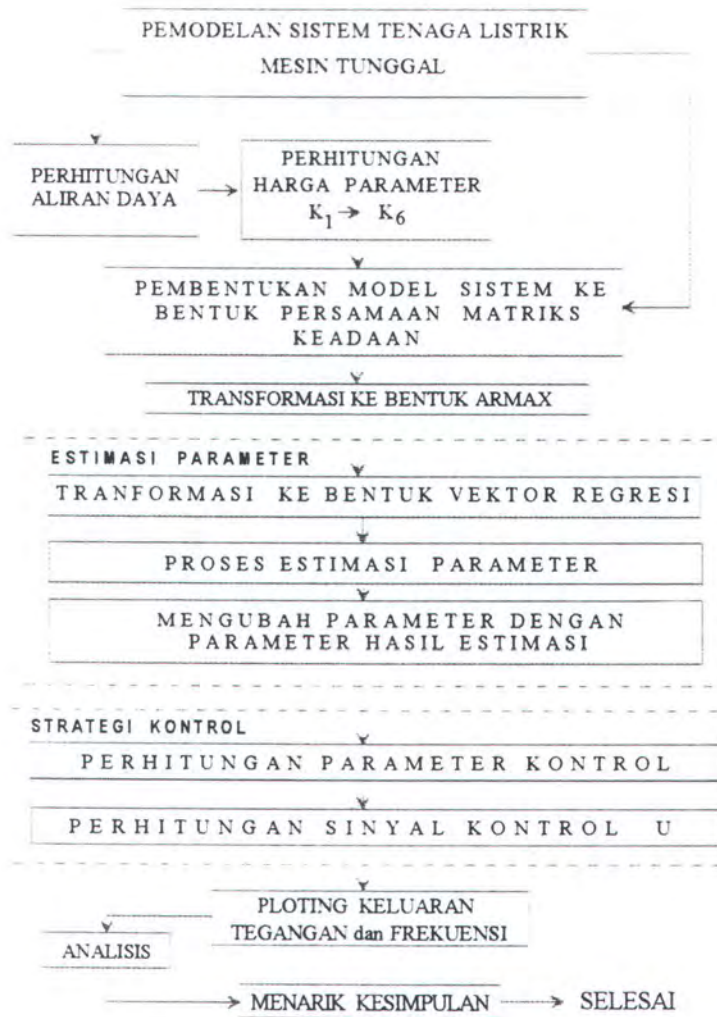
SIMULASI DAN ANALISIS

4.1. ALGORITMA

Untuk mengetahui bagaimana hasil dari penerapan pengendali adaptif swatala pada sistem tenaga listrik di PLTU Suralaya perlu dilakukan simulasi. Dengan simulasi ini dapat diketahui respon frekuensi maupun tegangan setelah diterapkan kendali adaptif swatala dalam keadaan beban tenaga listrik berubah. Selain respon frekuensi dan tegangan ditampilkan pula bagaimana bentuk sinyal pengendalinya.

Tahap pertama dilakukan pemodelan sistem tenaga listrik mesin tunggal (diambil mesin unit I PLTU Suralaya) yang terhubung dengan bus infinit (diambil bus di Gandul, Jawa Barat). Tahap kedua adalah mencari data yang dibagi menjadi dua, yaitu : data yang dipergunakan untuk menghitung parameter mesin dan data yang dipergunakan untuk menghitung aliran daya. Tahap ketiga dilakukan perhitungan aliran daya dan perhitungan parameter mesin tunggal. Tahap ke empat adalah pembentukan persamaan matriks keadaan. Tahap kelima adalah penerapan pengendali adaptif swatala. Pada penerapan adaptif swatala dibentuk persamaan masukan-keluaran dalam bentuk ARMAX dan estimatornya menggunakan metode extended least square secara rekursif. Strategi kontrol yang digunakan adalah minimum variansi yang diperumum.

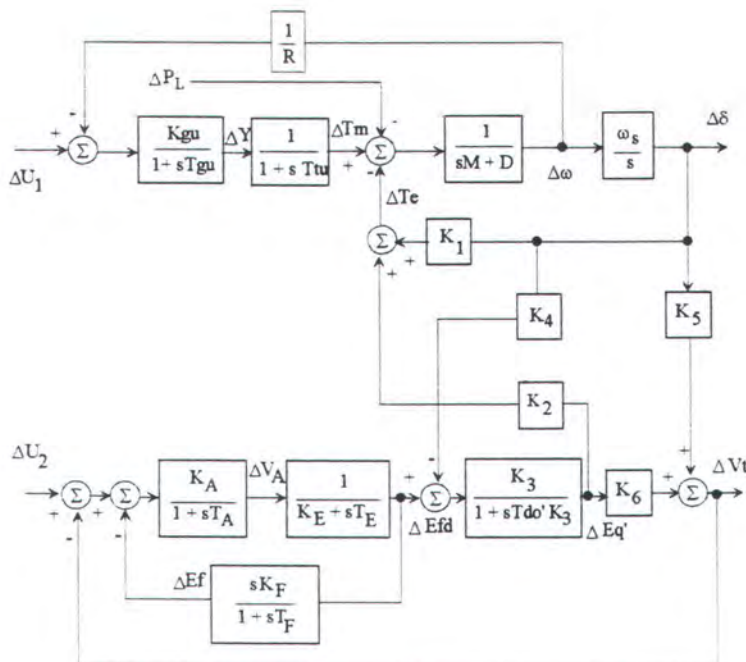
Secara global tahap-tahap penelitian dapat dilihat pada gambar dibawah ini :



Gambar 4.1. Algoritma Penelitian

4.1.1. Penerapan Perubahan Beban ΔP_L

Pada proses simulasi diperlukan adanya gangguan berupa perubahan beban (ΔP_L), sehingga dilakukan sedikit penyesuaian pada model mesin tunggal pada gambar 3.14. Hasil penyesuaian sehubungan adanya gangguan berupa ΔP_L dapat dilihat pada gambar 4.2.



Gambar 4.2. Diagram blok model mesin tunggal keseluruhan disertai gangguan

Adanya penyesuaian pada diagram blok mesin tunggal seperti gambar 4.2. erakibat pada penyesuaian persamaan matriks keadaan. Dalam hal ini yang merasakan secara langsung adanya ΔP_L adalah $\Delta \omega$, sehingga diperoleh persamaan yang baru sebagai berikut

$$\Delta\omega = (\Delta T_n - \Delta T_e - \Delta P_z) \frac{1}{sM + D} \quad (4.1)$$

$$\Delta\omega = (-K_1 \Delta\delta - K_2 \Delta E'_q + \Delta T_m - \Delta P_z) \frac{1}{sM + D} \quad (4.2)$$

$$\dot{\Delta\omega} = \frac{1}{M} \Delta T_n - \frac{K_1}{M} \Delta\delta - \frac{D}{M} \Delta\omega - \frac{K_2}{M} \Delta E'_q - \frac{1}{M} \Delta P_z \quad (4.3)$$

Persamaan matriks keadaan berubah menjadi :

$$\dot{x} = A x(t) + B u(t) + E w(t) \quad (4.4)$$

dengan

A : matriks variabel gangguan

$w(t)$: variabel gangguan

persamaan dalam bentuk matriks :

$$\begin{bmatrix} \dot{x}_1 \\ \dot{x}_2 \\ \dot{x}_3 \\ \dot{x}_4 \\ \dot{x}_5 \\ \dot{x}_6 \\ \dot{x}_7 \\ \dot{x}_8 \end{bmatrix} = \begin{bmatrix} \dot{\Delta Y} \\ \dot{\Delta T_n} \\ \dot{\Delta\delta} \\ \dot{\Delta\omega} \\ \dot{\Delta E'_q} \\ \dot{\Delta E_{fd}} \\ \dot{\Delta E_f} \\ \dot{\Delta V_A} \end{bmatrix} = \begin{bmatrix} b_{11} & b_{12} & \dots & b_{18} \\ \dots & \dots & \dots & \dots \\ b_{81} & \dots & \dots & b_{88} \end{bmatrix} \begin{bmatrix} \Delta Y \\ \Delta T_n \\ \Delta\delta \\ \Delta\omega \\ \Delta E'_q \\ \Delta E_{fd} \\ \Delta E_f \\ \Delta V_A \end{bmatrix} + \begin{bmatrix} b_{11} & b_{12} \\ \dots & \dots \\ b_{81} & b_{82} \end{bmatrix} \begin{bmatrix} \Delta U_1 \\ \Delta U_2 \end{bmatrix} + \begin{bmatrix} e_{11} \\ \dots \\ e_{81} \end{bmatrix} [\Delta P_z] \quad (4.5)$$

Harga matriks A :

$$A = \begin{bmatrix} \frac{-1}{T_{gu}} & 0 & 0 & \frac{-K_{gu}}{T_g T_{gu}} & 0 & 0 & 0 & 0 \\ \frac{-1}{T_{du}} & 0 & 0 & 0 & 0 & 0 & 0 & 0 \\ 0 & 0 & 0 & \omega_0 & 0 & 0 & 0 & 0 \\ 0 & \frac{1}{M} & \frac{-K_1}{M} & \frac{-1}{M} & \frac{-K_2}{M} & 0 & 0 & 0 \\ 0 & 0 & \frac{-K_4}{T'_{do}} & 0 & \frac{-1}{K_3 T'_{do}} & \frac{1}{T_{dc}} & 0 & 0 \\ 0 & 0 & 0 & 0 & 0 & \frac{-K_E}{T_E} & 0 & \frac{1}{T_E} \\ 0 & 0 & 0 & 0 & 0 & \frac{-K_E K_F}{T_F T_E} & \frac{-1}{T_F} & \frac{K_E}{T_F T_E} \\ 0 & 0 & \frac{K_5 K_A}{T_A} & 0 & \frac{K_E K_A}{T_A} & 0 & \frac{-K_A}{T_A} & \frac{-1}{T_A} \end{bmatrix}$$

Harga matriks B :

$$B = \begin{bmatrix} \frac{K_{gu}}{T_{gu}} & 0 \\ 0 & 0 \\ 0 & 0 \\ 0 & 0 \\ 0 & 0 \\ 0 & 0 \\ 0 & 0 \\ 0 & \frac{K_A}{T_A} \end{bmatrix}$$

Harga matriks E :

$$E = \begin{bmatrix} 0 \\ 0 \\ 0 \\ -\frac{1}{M} \\ 0 \\ 0 \\ 0 \\ 0 \end{bmatrix}$$

Persamaan matriks pengukuran :

$$\begin{bmatrix} Y_1 \\ Y_2 \\ Y_3 \\ Y_4 \\ Y_5 \\ Y_6 \\ Y_7 \\ Y_8 \end{bmatrix} = \begin{bmatrix} \Delta Y \\ \Delta T_\pi \\ \Delta P_e \\ \Delta \omega \\ \Delta V_t \\ \Delta E_{fa} \\ \Delta E_f \\ \Delta V_A \end{bmatrix} = \begin{bmatrix} c_{11} & \dots & \dots & c_{18} \\ \dots & \dots & \dots & \dots \\ c_{81} & \dots & \dots & c_{88} \end{bmatrix} \begin{bmatrix} \Delta Y \\ \Delta T_\pi \\ \Delta \delta \\ \Delta \omega \\ \Delta E'_g \\ \Delta E_{fa} \\ \Delta E_f \\ \Delta V_A \end{bmatrix} \quad (4.6)$$

Harga matriks C :

$$C = \begin{bmatrix} 1 & 0 & 0 & 0 & 0 & 0 & 0 & 0 \\ 0 & 1 & 0 & 0 & 0 & 0 & 0 & 0 \\ 0 & 0 & K_1 & 0 & K_2 & 0 & 0 & 0 \\ 0 & 0 & 0 & 1 & 0 & 0 & 0 & 0 \\ 0 & 0 & K_5 & 0 & K_6 & 0 & 0 & 0 \\ 0 & 0 & 0 & 0 & 0 & 1 & 0 & 0 \\ 0 & 0 & 0 & 0 & 0 & 0 & 1 & 0 \\ 0 & 0 & 0 & 0 & 0 & 0 & 0 & 1 \end{bmatrix}$$

Dari delapan variabel pengukuran di atas yang dilakukan analisis perubahan frekuensi ($\Delta\omega$) dan perubahan tegangan terminal (ΔV_t).

4.2. SIMULASI

Simulasi pengendalian adaptif swatala dilakukan dengan bantuan paket program PC -MATLAB. Simulasi dibagi dalam prosedur-prosedur sebagai berikut :

1. Prosedur Inisialisasi

- *Inisialisasi Parameter Sistem*

Prosedur ini menginisialisasi harga parameter-parameter sistem dalam bentuk parameter fungsi alih. Data ini diperoleh dengan mengubah model persamaan keadaan ke dalam model masukan keluaran dengan menggunakan paket program PC-MATLAB.

- *Inisialisasi Parameter Estimator*

Prosedur ini menentukan harga awal parameter estimator terdiri dari :

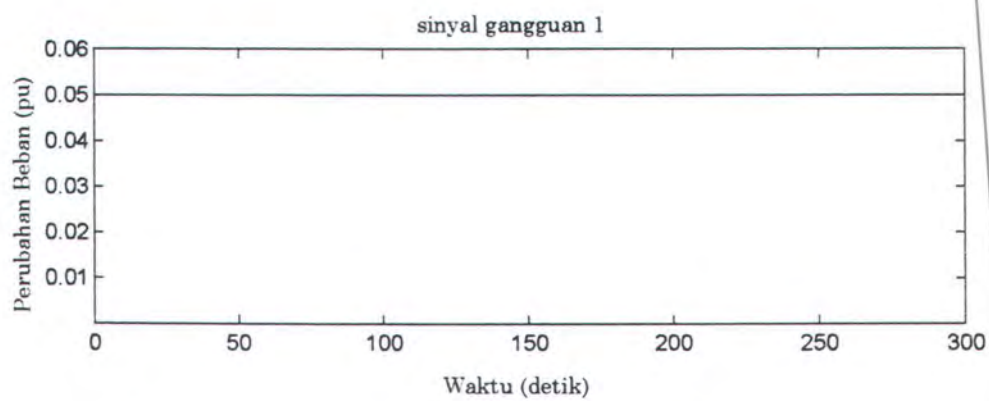
- a. Vektor parameter : θ (theta)
- b. Vektor regresi : Φ (fi)
- c. Diagonal matriks kovarian : diag F
- d. Orde polinomial : na, nb, nc
- e. Faktor pengabai yang berubah (*variable forgetting factor*) : α (alpha)

- *Inisialisasi Parameter Pengatur*

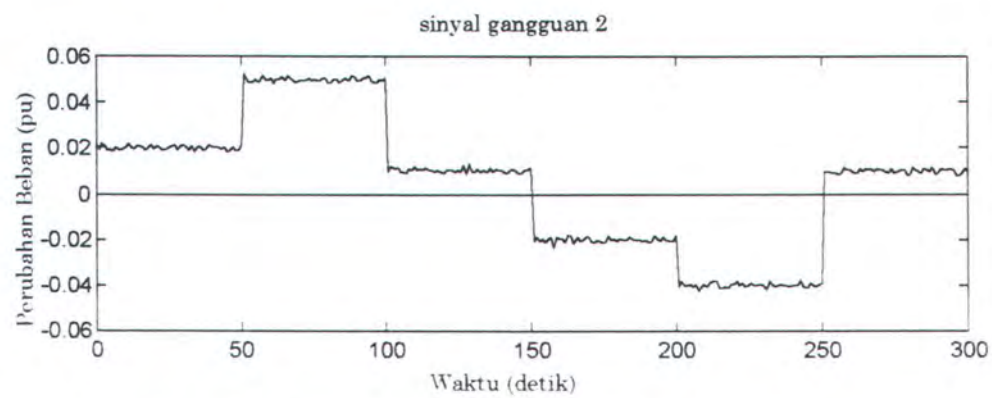
Karena menggunakan strategi kontrol variansi minimum yang diperumum maka perlu ditentukan harga konstanta pembobot ρ (rho).

2. Prosedur sinyal masukan

Prosedur ini menggunakan sinyal masukan gangguan berupa perubahan beban berbentuk sinyal unit step seperti pada gambar 4.3 dan sinyal unit step beramplitudo dengan sinyal acak seperti pada gambar 4.4.



Gambar 4.3. Sinyal gangguan 1, unit step ($\Delta P_L = 0.05 \text{ pu}$)



Gambar 4.4. Sinyal gangguan 2, unit step beramplitudo ($\Delta P_L = u(t) + 0.001e(t) \text{ pu}$)

3. Prosedur perhitungan keluaran sistem

Prosedur ini menghitung sinyal keluaran dalam bentuk persamaan fungsi alih dengan menggunakan vektor regresi estimator.

4. Prosedur estimasi parameter sistem

Prosedur ini menentukan nilai pendekatan parameter sistem menggunakan algoritma estimasi parameter metode Extended Least Square.

5. Prosedur perhitungan parameter pengatur

Prosedur ini menghitung parameter pengatur menggunakan persamaan (2.34, 2.34.a, 2.34.b) berdasarkan nilai parameter hasil estimasi pada langkah ke empat.

6. Prosedur perhitungan sinyal pengatur

Prosedur ini menghitung keluaran sinyal pengatur menggunakan persamaan (2.50) dan parameter pengatur yang diperoleh dari langkah ke lima.

7. Prosedur memperbaharui parameter sistem

Prosedur ini melakukan pembaharuan parameter sistem akibat dari perubahan parameter estimator dan sinyal pengendali.

8. Prosedur tampil hasil

Prosedur ini menampilkan hasil simulasi berupa grafik sinyal keluaran frekuensi dan tegangan.

4.3. DATA

4.3.1. Data Parameter Generator

Tabel 4.1. Data Parameter Generator Unit I

DATA PARAMETER GENERATOR DAN TURBIN UNIT I	
P Base/KV Base	400 MVA/ 500 KV
Konstanta Inertia turbin (M)	6.9
Reaktansi sb. direct (xd)	1.7668
Reaktansi transien sb. direct (xd')	0.245
Reaktansi sb. quadratur (xq)	1.64
Reaktansi Trans. sb. quadr. (xq')	1.0104
Konst. waktu transien gen. (Tdo')	7.9
Konstanta redaman (D0)	1.965
Penguatan Regulator Teg. (K _A)	200
Konstanta waktu reg. teg. (T _A)	0.25
Penguatan filter (K _F)	0.4
Konstanta waktu filter (T _F)	0.5
Penguatan Excitasi (K _E)	1
Konstanta waktu eksitasi (T _E)	0.98
Penguatan gov. uap (K _{gu})	20
Konstanta waktu gov. uap (T _{gu})	0.1
Konstanta waktuturbin uap (T _u)	0.1
Konst. pengaturan turbin (R)	0.52

4.3.2. Data Impedansi Saluran

Tabel 4.2. Data Impedansi Saluran

IMPEDANSI SALURAN ANTARA SURALAYA (PLTU) - GANDUL			
Tegangan Bus Suralaya	Resistansi (ohm/km/phs)	Reaktansi (ohm/km/phs)	Jarak (km)
502 kV	0.0126	0.4182	110.89

4.4. ANALISIS DAN PEMBAHASAN

4.4.1. Masukan gangguan 1

Perubahan frekuensi

Grafik keluaran frekuensi dengan kontrol adaptif swatala terlihat pada gambar 4.5. Terlihat bahwa perubahan frekuensi mengalami lonjakan pada saat t mendekati harga awal sedangkan menuju nol saat t semakin membesar. Perubahan frekuensi maksimum sebesar -5.5×10^{-4} pu, sedangkan waktu yang dibutuhkan untuk menuju nol adalah 10 detik.

Grafik keluaran frekuensi tanpa kontrol adaptif swatala terlihat pada gambar 4.5. Perubahan frekuensi maksimum sebesar 5.2×10^{-3} pu, sedangkan waktu yang dibutuhkan untuk menuju nol adalah 175 detik.

Perubahan tegangan

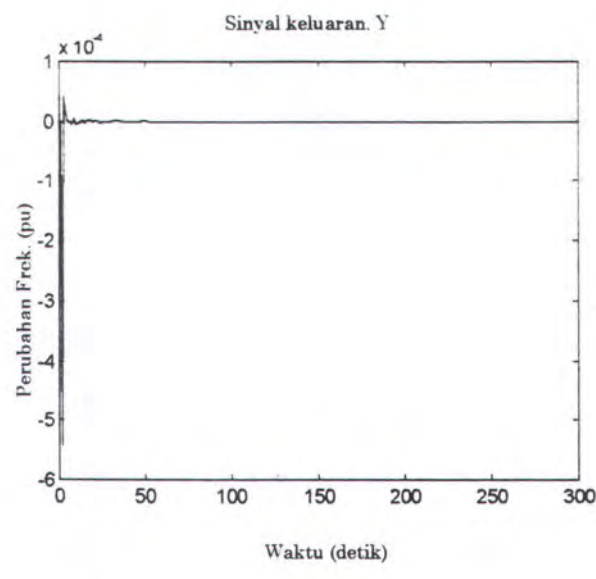
Grafik keluaran tegangan terminal dengan kontrol adaptif swatala terlihat pada gambar 4.5. Terlihat bahwa perubahan tegangan terminal mengalami lonjakan pada saat t mendekati harga awal sedangkan menuju nol saat t semakin membesar. Perubahan tegangan terminal maksimum sebesar -2.65×10^{-4} pu, sedangkan waktu yang dibutuhkan untuk menuju nol adalah 20 detik.

Grafik keluaran tegangan terminal tanpa kontrol adaptif swatala terlihat pada gambar 4.5. Perubahan tegangan terminal maksimum sebesar 5×10^{-3} pu, sedangkan waktu yang dibutuhkan untuk menuju nol adalah 90 detik.

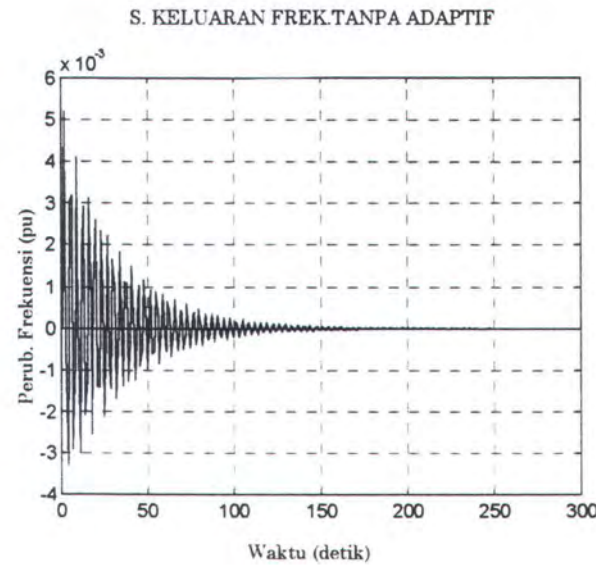
Perbandingannya dapat dilihat pada tabel di bawah ini :

Tabel 4.3. Perbandingan keluaran dengan dan tanpa kontrol adaptif dengan masukan gangguan 1.

Keluaran	ΔP_L (pu)	Dengan Kontrol Adaptif		Tanpa Kontrol Adaptif	
		T. Redaman (detik)	Simpangan Maks. (pu)	T. Redaman (detik)	Simpangan Maks. (pu)
$\Delta\omega$	0.05	10	-5.5 E-4	175	5.2 E -3
ΔV_t	0.05	20	-2.65E -4	90	5 E-3



(a)

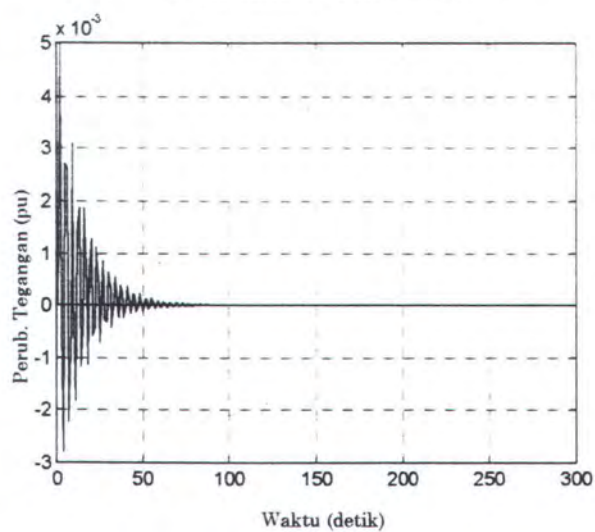


(b)

Keterangan : (a) menggunakan kontrol adaptif swatala
 (b) tanpa kontrol adaptif swatala

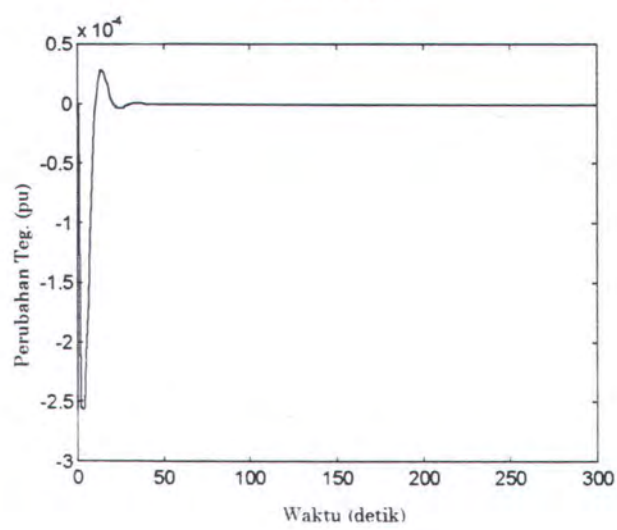
Gambar 4.5. Sinyal keluaran frekuensi dengan masukan gangguan 1

S. KELUARAN TEG.TANPA ADAPTIF



(a)

Sinyal keluaran, Y



(b)

Keterangan : (a) tanpa kontrol adaptif swatala
 (b) menggunakan kontrol adaptif swatala

Gambar 4.6. Sinyal keluaran tegangan dengan masukan gangguan I

4.4.2. Masukan gangguan 2

Masukan gangguan ini merupakan perubahan daya beban pada sistem tenaga listrik mesin tunggal. Keluaran frekuensi dan tegangan dapat dilihat pada gambar 4.7. Terlihat bahwa setiap terjadi perubahan daya beban terjadi pula perubahan pada frekuensi dan tegangan. Pada saat terjadi peningkatan daya beban terjadi penurunan frekuensi dan tegangan. Tetapi dengan segera perubahan frekuensi dan tegangan kembali menuju harga nol. Demikian pula pada saat terjadi penurunan daya beban.

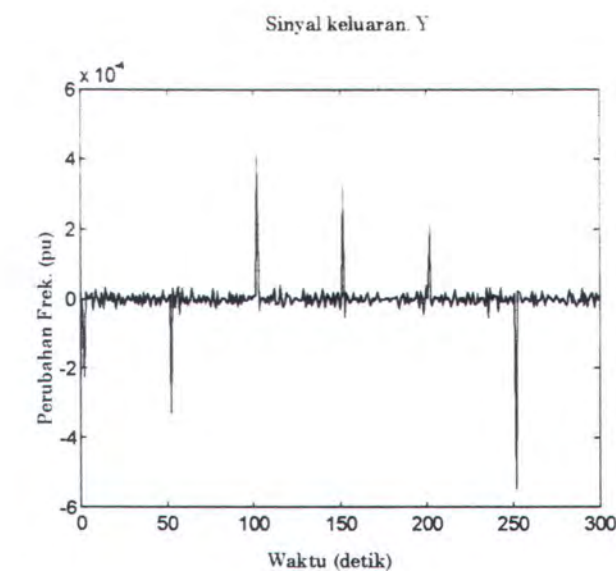
Keadaan pada kondisi di atas merupakan akibat dari penerapan kontrol adaptif swatala. Sebaliknya untuk keadaan tanpa kontrol adaptif swatala (open loop) adanya perubahan daya beban seperti di atas berakibat pada simpangan perubahan frekuensi dan tegangan yang relatif lebih besar serta waktu yang dipergunakan untuk kembali menuju harga nol yang relatif lebih lama. Untuk lebih jelasnya perbedaan antara respon dengan adaptif swatala dan tanpa adaptif swatala dapat dilihat tabel berikut ini :

Tabel 4.4.a. Perbandingan Perubahan Frekuensi ($\Delta\omega$) dengan masukan gangguan 2

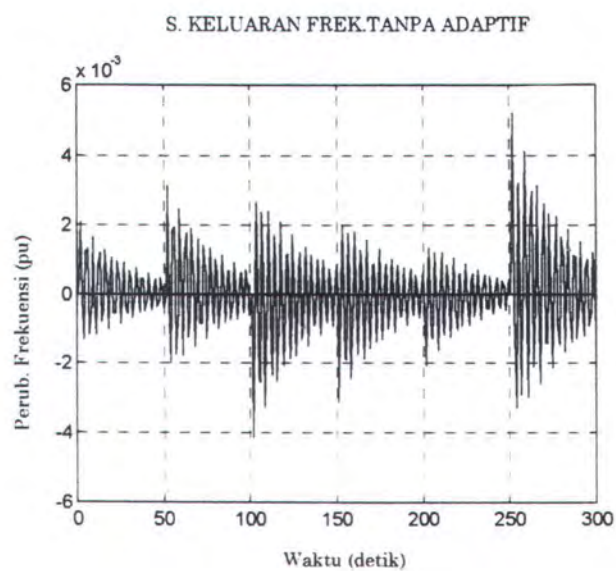
ΔP_L (pu)	Dengan Kontrol Adaptif		Tanpa Kontrol Adaptif	
	Frekuensi ($\Delta\omega$)		Frekuensi ($\Delta\omega$)	
	T. Redaman (detik)	Lonjakan Maks (pu)	T. Redaman (detik)	Lonjakan Maks (pu)
0.02	5	-2.1E-4	50<	2E-3
0.03	5	-3.5E-4	50<	3.2E-3
-0.04	5	4E-4	50<	-4.2E-3
-0.03	5	3.75E-4	50<	-3.5E-3
-0.02	5	2.25E-4	50<	-2E-3
0.05	7	-5.8E-4	50<	5.5E-3

Tabel 4.4.b. Perbandingan Perubahan Tegangan Terminal (ΔV_t) dengan masukan gangguan 2

ΔP_L (pu)	Dengan Kontrol Adaptif		Tanpa Kontrol Adaptif	
	Tegangan Terminal (ΔV_t)		Tegangan Terminal (ΔV_t)	
	T. Redaman (detik)	Lonjakan Maks (pu)	T. Redaman (detik)	Lonjakan Maks (pu)
0.02	15	-1E-4	50<	2E-3
0.03	16	-1.75E-4	50<	2.9E-3
-0.04	15	2.2E-4	50<	-4E-3
-0.03	14	1.72E-4	50<	-3E-3
-0.02	15	1.2E-4	50<	-2E-3
0.05	16	-2.6E-4	50<	5E-3



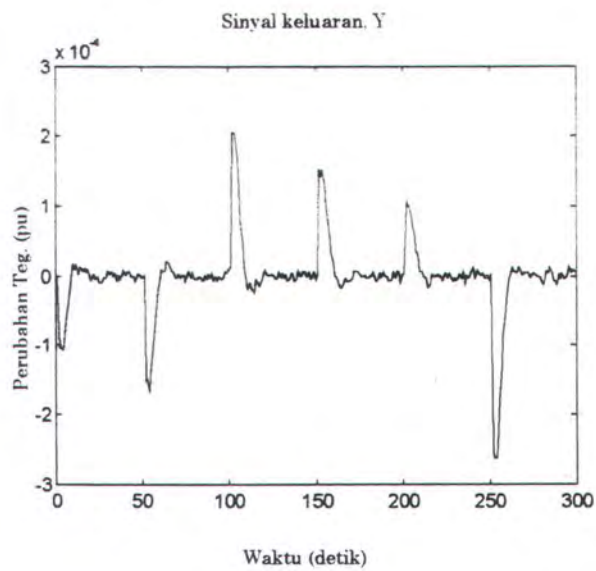
(a)



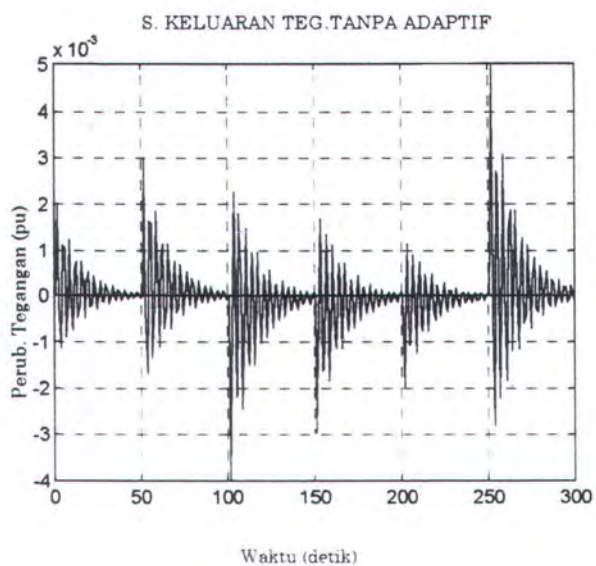
(b)

Keterangan : (a) menggunakan kontrol adaptif swatala
 (b) tanpa kontrol adaptif swatala

Gambar 4.7. *Sinyal keluaran frekuensi dengan masukan gangguan 2*



(a)



(b)

Keterangan : (a) menggunakan kontrol adaptif swatala
 (b) tanpa kontrol adaptif swatala

Gambar 4.8. Sinyal keluaran tegangan dengan masukan gangguan 2

Matriks koefisien variabel keadaan :

$$A = \begin{bmatrix} -10 & 0 & 0 & -384.6154 & 0 & 0 & 0 & 0 \\ 10 & -10 & 0 & 0 & 0 & 0 & 0 & 0 \\ 0 & 0 & 0 & 6.2800 & 0 & 0 & 0 & 0 \\ 0 & 0.1449 & -0.1562 & -0.2848 & -0.1541 & 0 & 0 & 0 \\ 0 & 0 & -0.1452 & 0 & -0.4261 & 0.1266 & 0 & 0 \\ 0 & 0 & 0 & 0 & 0 & -1.0204 & 0 & 1.0204 \\ 0 & 0 & 0 & 0 & 0 & -0.8163 & -2 & 2.0408 \\ 0 & 0 & -65.0857 & 0 & 384.1973 & 0 & -800 & -4 \end{bmatrix}$$

Matriks koefisien variabel input :

$$B = \begin{bmatrix} 200 & 0 & 0 \\ 0 & 0 & 0 \\ 0 & 0 & 0 \\ 0 & 0 & -0.1449 \\ 0 & 0 & 0 \\ 0 & 0 & 0 \\ 0 & 0 & 0 \\ 0 & 800 & 0 \end{bmatrix}$$

Matriks pengukuran :

$$C = \begin{bmatrix} 1 & 0 & 0 & 0 & 0 & 0 & 0 \\ 0 & 1 & 0 & 0 & 0 & 0 & 0 \\ 0 & 0 & 1.0779 & 0 & 1.0634 & 0 & 0 \\ 0 & 0 & 0 & 1 & 0 & 0 & 0 \\ 0 & 0 & -0.0814 & 0 & 0.4352 & 0 & 0 \\ 0 & 0 & 0 & 0 & 0 & 1 & 0 \\ 0 & 0 & 0 & 0 & 0 & 0 & 1 \\ 0 & 0 & 0 & 0 & 0 & 0 & 0 \end{bmatrix}$$

Model ARMAX untuk sisi turbin :

$$A(q^{-1}) = 1. - 0.6761 q^{-1} + 0.0389 q^{-2} - 0.0001 q^{-3}$$

$$B(q^{-1}) = 0.2206 q^{-1} - 0.2396 q^{-2} + 0.0191 q^{-3} - 0.0001 q^{-4}$$

$$C(q^{-1}) = 1. - 0.0109 q^{-1} + 0.0118 q^{-2} - 0.0009 q^{-3}$$

Model ARMAX untuk sisi eksitasi :

$$A(q^{-1}) = 1. - 0.01 q^{-1}$$

$$B(q^{-1}) = 0.5917 q^{-1} - 0.0008 q^{-2}$$

$$C(q^{-1}) = 1. + 0.5068 q^{-1} + 0.0006 q^{-2}$$

Persamaan Regresi Frekuensi

$$\begin{aligned} y(t) = & 0.6761 y(t-1) - 0.0389 y(t-2) + 0.0001 y(t-3) + 0.2206 \\ & u(t-2) - 0.2396 u(t-3) + 0.0191 u(t-4) - 0.0001 u(t-5) - \\ & 0.0109 e(t-1) + 0.0118 e(t-2) - 0.0009 e(t-3) \end{aligned}$$

Persamaan Regresi Tegangan

$$\begin{aligned} y(t) = & 0.01 y(t-1) + 0.5917 u(t-2) - 0.0008 u(t-3) + 0.5068 \\ & e(t-1) + 0.0006 e(t-2) \end{aligned}$$



TUGAS AKHIR

BAB V

PENUTUP

BAB V

PENUTUP

5.1. KESIMPULAN

1. Penerapan kontrol adaptif swatala mampu memberikan hasil yang lebih baik di bandingkan tanpa menggunakan kontrol adaptif swatala. Dari tabel 4.3 dihasilkan untuk $\Delta\omega$ waktu redaman diperkecil dari 175 detik menjadi 10 detik sedang amplitudonya diperkecil dari -0.0052 pu menjadi -0.00055 pu. Demikian pula untuk ΔV , waktu redaman diperkecil dari 90 detik menjadi 20 detik sedang amplitudonya diperkecil dari -0.005 pu menjadi -0.000265 pu.
2. Adanya gangguan white-noise pada sistem tenaga listrik mesin tunggal ternyata tidak dapat dihilangkan dengan menggunakan kontrol adaptif swatala.

5.2. SARAN

Untuk mendapatkan hasil yang maksimal dalam penerapan kontrol adaptif swatala pada sistem pembangkit listrik mesin tunggal terhubung dengan infinit bus, diperlukan adanya campur tangan bidang-bidang ilmu yang lain seperti pengukuran frekuensi, pengukuran tegangan, aliran daya dan bidang aplikasi perangkat keras.

Penelitian-penelitian lebih lanjut perlu diadakan agar diperoleh pemodelan yang lebih mendekati keadaan yang sebenarnya.



TUGAS AKHIR

DAFTAR PUSTAKA

DAFTAR PUSTAKA

- [1]. Anderson P.M. & Fouad A.A., **Power System Control and Stability**, The Iowa State University Press Ames, Iowa 50010, First Edition, 1977.
- [2]. Astrom, K.J. and Wittenmark, B, **Adaptive Control**, Addison Wesley Publishing Company, USA, 1989.
- [3]. Astrom, K.J. and Wittenmark, B, **Computer Controlled System Theory and Design**, Prentice-Hall International, Inc., 1984.
- [4]. De Mello E.P. and Concordia, **Concepts of Synchronous Machine Stability by Excitation Control**, IEEE, Vol Pass-88, No. 4 , April 1996.
- [5]. Edy Suwarto, **Studi Pengendalian Adaptif Frekuensi-Beban Untuk Sistem Tenaga Area Jamak**, Tesis, ITB, 1995.
- [6]. IEEE Committee Report, **Dynamic Models for Steam and Hydro Turbine in Power System Studies**, IEEE Trans., 1973, Pas-92, pp. 1904-1915.
- [7]. IEEE Committee Report, **Excitation System Models Power System Studies**, IEEE Trans, Vol Pas-100, No. 2, Feb.1981.
- [8]. IEEE Committee Report, **Computer Representation of Excitation System**. IEEE Trans, Vol Pas-87, No. 6, June 1981.
- [9]. Imam Robandi, **Studi Perbaikan Kinerja Dinamik Sistem Tenaga Listrik Multimesin Dengan Umpang Balik Optimal**, Tesis, ITB, Nopember 1994

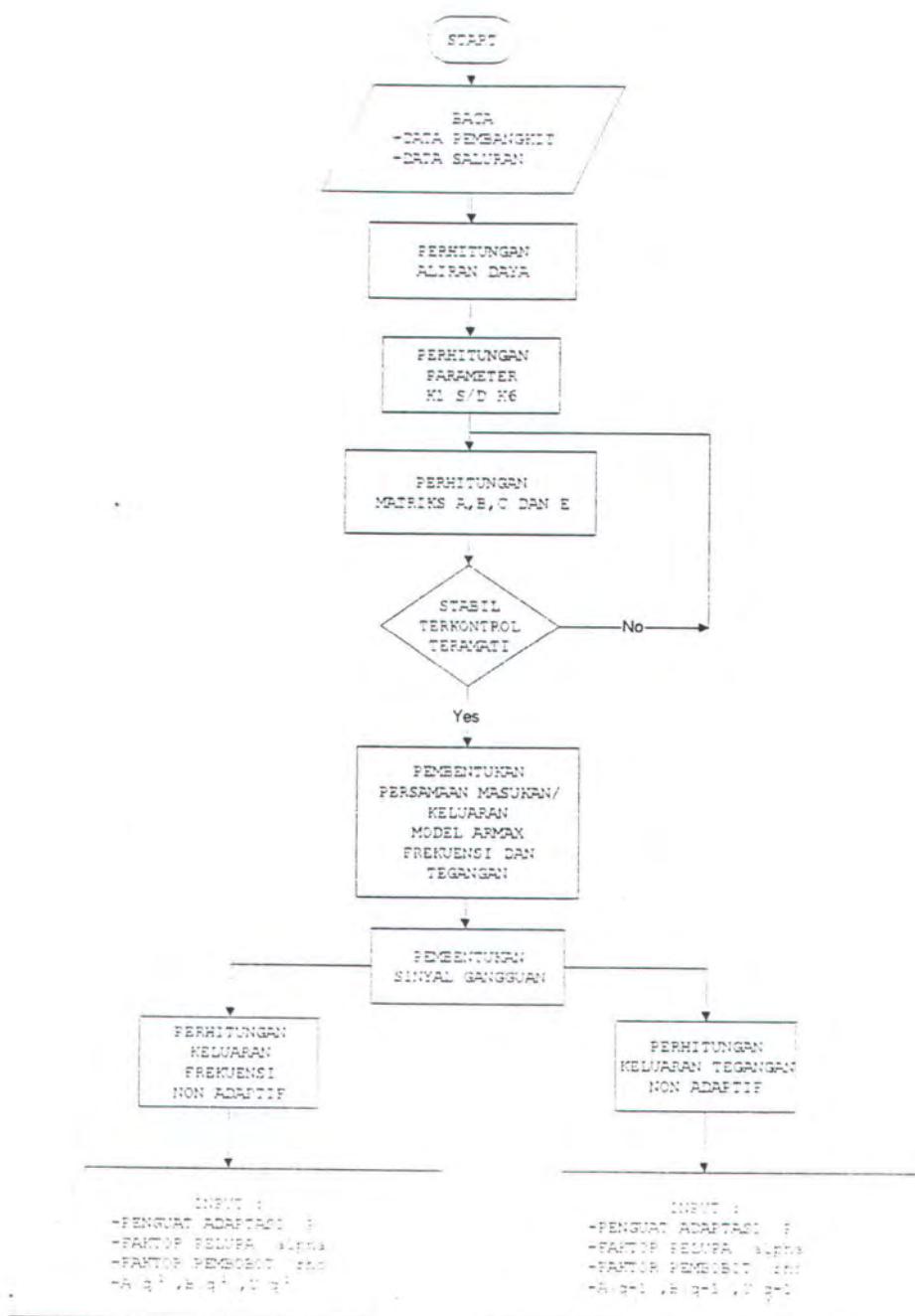
- [10]. Isnuwardianto, **Dinamika Kendali Sistem Tenaga Listrik**, ITB, 1994.
- [11]. Katsuhito Ogata, **State Space Analysis of Control Systems**, Prentice Hall inc., Englewood Cliff, New Jersey.
- [12]. Nagrath, I.J. and Kothari, D.P, **Modern Power System Analysis**, Tata Mc.Graw Hill, New Delhi, 1980.
- [13]. Narendra, K.S and Annaswamy, A.M, **Stable Adaptive System**, Prentice-Hall International, Inc., 1989.
- [14]. Pan, C.T and Liaw, C. M, **An Adaptive Controller for Power System Load Frequency Control**, IEEE Trans. on Power System, Vol. 4, No. 1, Feb. 1989.
- [15]. Sheirah, M.A, malik, O.P and Hope, G.S, **Minimum Variance strategy for Load Frequency Control**, Electric Power Energy System, Vol. 8, No. 2, April 1986.
- [16]. Stevenson, W.D. Jr, **Elemenof Power System Analysis**, 4th edition, Mc. Graw Hill, Inc., 1982.
- [17]. -----, **PC-MATLAB for MS-DOS Personal Computer**, The Math Works, Inc, Oktober 1990.

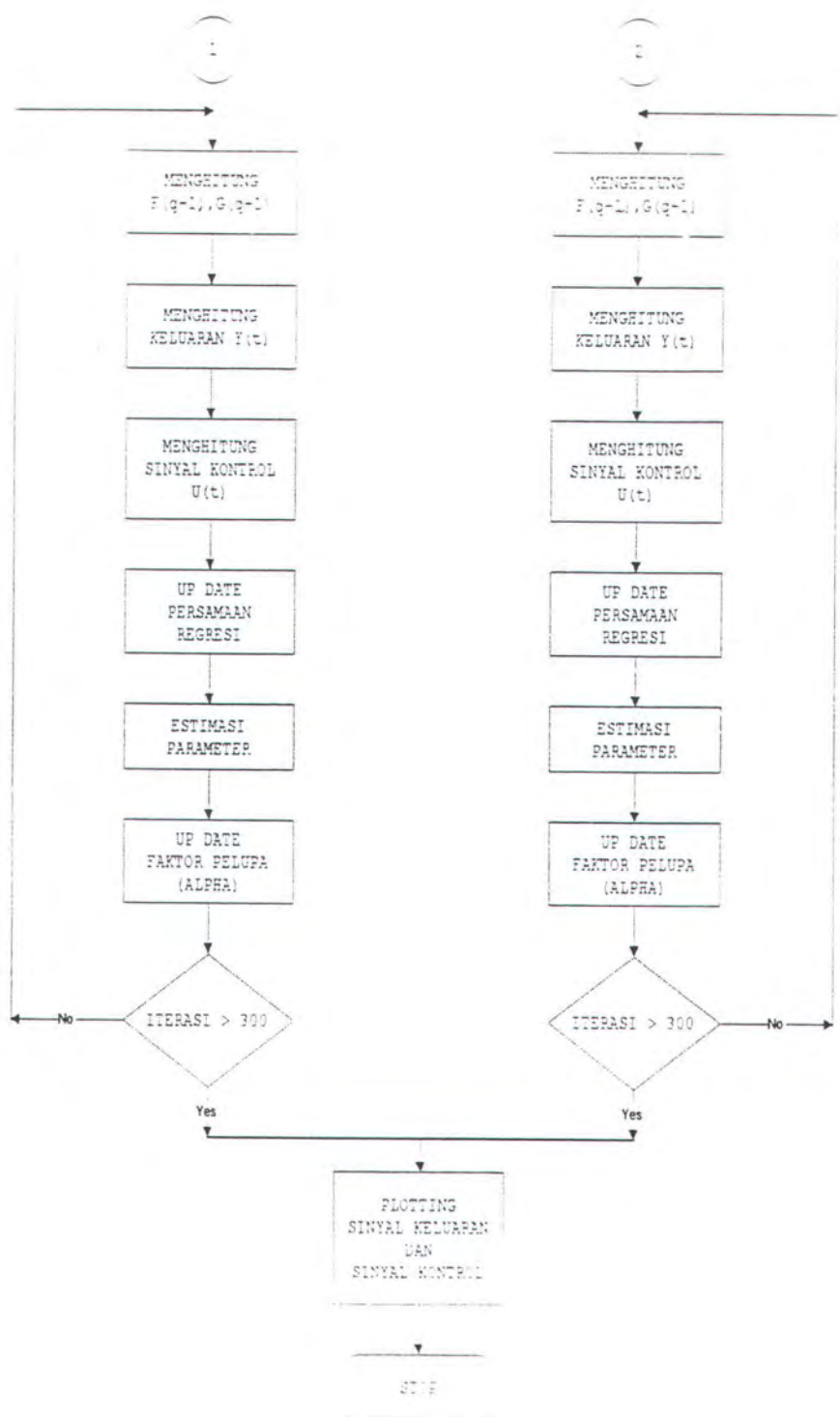


TUGAS AKHIR

LAMPIRAN A

LAMPIRAN A







TUGAS AKHIR

LAMPIRAN B

LAMPIRAN B

```
%DATA PENBANGKIT
=====
clear
MWb=400; %Daya maksimum yang dibangkitkan 3 phasa (MWatt)
sebagai dasar
KVb=500; %Tegangan pada jaringan transmisi line to line (KVolt)
sebagai dasar
KV=502; %Tegangan pada bus generator;
xd=1.7;
xq=1.64;
xda=0.245;
Lad=1.55;
r=0.001;
Fp=0.85;
=====
Ka = 200;
Ta = 0.25;
Ke = 1.0;
Te = 0.98;
Kf = 0.4;
Tf = 0.5;
Kgu = 20;
Tgu = 0.1;
Ttu = 0.1;
M = 6.9;
Tdo = 7.9;
R = 0.52;
w0 = 6.28;
D1 = 1.965;

%DATA TRANSMISI
=====
Km=110.98; %Panjang saluran dari Surabaya ke Gandul
Re=0.0126; %Reasistansi saluran ohm/km/phasa
Xe=0.4182; %Reaktansi saluran ohm/km/phasa
Phs=3; %Jumlah Phasa

%MENGHITUNG NILAI DASAR
=====
Ib=MWb/(sqrt(3)*KVb);
Zb=KVb*KVb/MWb;

%MENGHITUNG IMPEDANSI TOTAL (pu)
=====
Zt_ohm=Km*Phs*(Re+j*Xe);
Ztotal=Zt_ohm/Zb;
%Ztotal=0.02+0.4i
```

```

%MENGHITUNG TEGANGAN TERMINAL (pu)
%=====
Vt=KV/KVb;

%MENGHITUNG Id,Iq,Vd,Vq (pu)
%=====
derajat=(180/pi);
Ia=Fp/(sqrt(3)*Vt);
fhi=acos(Fp);
Ir=Ia*cos(fhi);
Ix=-Ia*sin(fhi);
d_B=atan([(xq*Ir+r*Ix)/(Vt+r*Ir-xq*Ix)]);
dBf=d_B+fhi;

Iq=Ia*cos(dBf);
iq=Iq*sqrt(3);

Id=-Ia*sin(dBf);
id=Id*sqrt(3);

Vq=Vt*cos(d_B);
vq=Vq*sqrt(3);

Vd=-Vt*sin(d_B);
vd=Vd*sqrt(3);

%MENGHITUNG Vo (pu) dan sudut alfa-beta
%=====
Vinf=0.9439-0.0908i;
Vo=abs(Vinf);
alf_B=angle(Vinf);

%MENGHITUNG K1, K2, K3, K4, K5 dan K6
%=====
Zre=real(Ztotal);
Zxe=imag(Ztotal);
Kl=1/((Zre)^2+(xq+Zxe)*(xda+Zxe));
K3=1/(1+Kl*(xd-xda)*(xq-Zxe));

%=====
d_alf = d_B - alf_B;
K4=Vo*Kl*(xd-xda)*[(xq-Zxe)*sin(d_alf) - Zre*cos(d_alf)];

%=====
Eaq=Vq-(xda*Id);
Eqa=Eaq-(xq-xda)*Id;
sukulK1=Eqa*[Zre*sin(d_alf)+(xda+Zxe)*cos(d_alf)];
suku2K1=Iq*(xq-xda)*[(xq+Zxe)*sin(d_alf)-Zre*cos(d_alf)];
K1=K1*Vo*[sukulK1+suku2K1];

%=====
K2=K1*[Iq*(Zre^2+(xq+Zxe)^2)+Eqa*Zre];

```

```

%=====
suku1K5=(K1*Vo*xda*Vq/Vt)*[(xq+Zxe)*sin(d_alf)-Zre*cos(d_alf)];
suku2K5=(K1*Vo*xq*Vd/Vt)*[(xda+Zxe)*cos(d_alf)+Zre*sin(d_alf)];
K5=suku1K5+suku2K5;

%=====
K6=(Vq/Vt)*(1-K1*xda*(xq+Zxe))-(Vd/Vt)*K1*xq*Zre;
clc

%=====
disp('PARAMETER K1, K2, K3, K4, K5, K6');
K=[K1 K2 K3 K4 K5 K6]
disp('-----tekan enter-----')
pause
clc

%Matriks Variabel Keadaan A
%=====
disp('Matriks Variabel Keadaan A');
A=[-1/Tgu 0 0 -Kgu/(R*Tgu) 0 0 0 0;
   1/Ttu -1/Ttu 0 0 0 0 0 0;
   0 0 0 w0 0 0 0 0;
   0 1/M -K1/M -D1/M -K2/M 0 0 0;
   0 0 -K4/Tdo 0 -1/(K3*Tdo) 1/Tdo 0 0;
   0 0 0 0 0 -Ke/Te 0 1/Te;
   0 0 0 0 -Ke*Kf/(Tf*Te) -1/Tf Ke/(Te*Tf);
   0 0 K5*Ka/Ta 0 K6*Ka/Ta 0 -Ka/Ta -1/Ta];
disp('-----tekan enter-----')
pause
clc

%Matriks Variabel Input B
%=====
disp('Matriks Variabel Input B');
B=[Kgu/Tgu 0 0;
   0 0 0;
   0 0 0;
   0 0 -(1/M);
   0 0 0;
   0 0 0;
   0 0 0;
   0 Ka/Ta 0];
disp('-----tekan enter-----')
pause
clc

%Matriks Pengukuran C
%=====
disp('Matriks Pengukuran C');
C=[ 1 0 0 0 0 0 0 0;
   0 1 0 0 0 0 0 0;
   0 0 K1 0 K2 0 0 0;
   ];

```

```

0      0      0      1      0      0      0      0;
0      0      K5     0      K6     0      0      0;
0      0      0      0      0      1      0      0;
0      0      0      0      0      0      1      0;
0      0      0      0      0      0      0      1];
disp('-----tekan enter-----')
pause
clc

C1=C(4,:);
C2=C(5,:);
D=zeros(1,3);

%MENGUJI KONDISI Matriks KEADAAN
%=====

disp('MATRIS STABIL BILA "REAL DARI EIG(A)=NEGATIP"');
EIG=eig(A)

disp('MATRIS TERAMATI BILA "ROBSC=8"');
OBSC=obsv(A,C);
ROBSC=rank(OBSC)

disp('MATRIS TERKONTROL BILA "RANGCO=8"');
CO=ctrb(A,B);
RANKCO=rank(CO)
disp('-----tekan enter-----')
pause
clc

%MENENTUKAN FUNGSI ALIH SISTEM DALAM BENTUK KONTINYU
%=====
disp('FUNGSI ALIH SISI TURBIN DALAM BENTUK KONTINYU')
[num1,den]=ss2tf(A,B,C1,D,1) %bentuk kontinyu
disp('-----tekan enter-----')
%pause
clc

disp('FUNGSI ALIH SISI EKSITASI DALAM BENTUK KONTINYU')
[num2,den]=ss2tf(A,B,C2,D,2) %bentuk kontinyu
disp('-----tekan enter-----')
%pause
clc

disp('FUNGSI ALIH GANGGUAN DALAM BENTUK KONTINYU')
[num3f,den]=ss2tf(A,B,C1,D,3) %bentuk kontinyu
disp('-----tekan enter-----')
%pause
clc

disp('FUNGSI ALIH GANGGUAN DALAM BENTUK KONTINYU')
[num3t,den]=ss2tf(A,B,C2,D,3) %bentuk kontinyu
disp('-----tekan enter-----')
%pause
clc

Ts=0.35;

```

```

%MENENTUKAN FUNGSI ALIH SISTEM DALAM BENTUK DISKRIT
%=====
disp('FUNGSI ALIH SISI TURBIN DALAM BENTUK DISKRIT')
[numdl,dend]=c2dm(num1,den,Ts) %bentuk diskrit
disp('(-tekan enter-)')
%pause
clc
disp('FUNGSI ALIH SISI EKSITASI DALAM BENTUK DISKRIT')
[numd2,dend]=c2dm(num2,den,Ts) %bentuk diskrit
disp('(-tekan enter-)')
%pause
clc
disp('FUNGSI ALIH GANGGUAN DALAM BENTUK DISKRIT')
[numd3f,dend]=c2dm(num3f,den,Ts) %bentuk diskrit
disp('(-tekan enter-)')
%pause
clc
disp('FUNGSI ALIH GANGGUAN DALAM BENTUK DISKRIT')
[numd3t,dend]=c2dm(num3t,den,Ts) %bentuk diskrit
disp('(-tekan enter-)')
%pause
clc

%MENENTUKAN JENIS SINYAL GANGGUAN
%=====
clc
niter=300;
m=input('Banyaknya iterasi ? (kelipatan 6; default=300) ');
m=300;
if m<niter,nit=m;
else nit=niter;
end
t1=(1:nit/6)';
t2=(nit/6+1:nit/3)';
t3=(nit/3+1:nit/2)';
t4=(nit/2+1:nit/3*2)';
t5=(nit/3*2+1:nit/6*5)';
t6=(nit/6*5+1:nit)';
t=[t1' t2' t3' t4' t5' t6]';
tnon=t;
ee0=zeros(nit,1);
ee10=ones(nit,1);
ee1=.04*randn(size(t));
ee2=.1*ee10;
ee20=.5*ee2;
ee21=.6*ee2;
ee4=.2*ee2(t1)+.001*randn(size(t1));
ee5=.5*ee2(t2)+.001*randn(size(t2));
ee6=.1*ee2(t3)+.001*randn(size(t3));
ee7=-.2*ee2(t4)+.001*randn(size(t4));
ee8=-.4*ee2(t5)+.001*randn(size(t5));
ee9=.1*ee2(t6)+.001*randn(size(t6));
ee3=[ee4' ee5' ee6' ee7' ee8' ee9'];
figure(1)
subplot(211),plot(t,ee0,t,ee20,t,ee21),title('sinyal gangguan
l'),%gangguan unit step

```

```

ylabel('Perubahan Beban (pu)'), xlabel('Waktu (detik)')
subplot(212), plot(t, ee3, t, ee0), title('sinyal gangguan
2'), %gangguan unit step beramplitudo
ylabel('Perubahan Beban (pu)'), xlabel('Waktu (detik)')
clc

%MEMILIH JENIS SINYAL GANGGUAN
%=====
%mm=input('S.gangguan,(1=step,2=step beramplitudo) = ');
mm=1;
D=zeros(8,1);
Mod=6;
D1=0.01;
Ttu=3.1;
Md1=(1/Mod);
AUF=[-1/Tgu 0 0 -Kgu/(R*Tgu) 0 0 0 0;
      1/Ttu -1/Ttu 0 0 0 0 0 0;
      0 0 w0 0 0 0 0 0;
      0 1/Mod -K1/Mod -D1/Mod -K2/Mod 0 0 0;
      0 0 -K4/Tdo 0 -1/(K3*Tdo) 1/Tdo 0 0;
      0 0 0 0 -Ke/Te 0 1/Te;
      0 0 0 -Ke*Kf/(Tf*Te) -1/Tf Ke/(Te*Tf);
      0 K5*Ka/Ta 0 K6*Ka/Ta 0 -Ka/Ta -1/Ta];

if mm==1,err=ee20;
BGANGGUANf=[0 ;
              0 ;
              0 ;
              .5*Md1;
              0 ;
              0 ;
              0 ;
              0 ];
[y1f,x1f]=step(AUF,BGANGGUANf(:,1),C,D,1,t);
Ynonf=y1f(:,4);

else err=ee3;
BGANGGUANf=[0 0 0 0 0 0 0 0;
              0 0 0 0 0 0 0 0;
              0 0 0 0 0 0 0 0;
              .2*Md1 .3*Md1 -.4*Md1 -.3*Md1 -.2*Md1 .5*Md1;
              0 0 0 0 0 0 0 0;
              0 0 0 0 0 0 0 0;
              0 0 0 0 0 0 0 0;
              0 0 0 0 0 0 0 0];
[y1f,x1f]=step(AUF,BGANGGUANf(:,1),C,D,1,t1);
[y2f,x2f]=step(AUF,BGANGGUANf(:,2),C,D,1,t2);
[y3f,x3f]=step(AUF,BGANGGUANf(:,3),C,D,1,t3);
[y4f,x4f]=step(AUF,BGANGGUANf(:,4),C,D,1,t4);
[y5f,x5f]=step(AUF,BGANGGUANf(:,5),C,D,1,t5);
[y6f,x6f]=step(AUF,BGANGGUANf(:,6),C,D,1,t6);
Yout1f=y1f(:,4);
Yout2f=y2f(:,4);
Yout3f=y3f(:,4);
Yout4f=y4f(:,4);
Yout5f=y5f(:,4);

```

```

Yout6f=y6f(:,4);
Ynonf=[Yout1f' Yout2f' Yout3f' Yout4f' Yout5f' Yout6f'];
end

D=zeros(8,1);
Mod=6;
D1=0.5;
Ttu=3.1;
Md1=(1/Mod);

AUT=[-1/Tgu 0 0 -Kgu/(R*Tgu) 0 0 0 0;
     1/Ttu -1/Ttu 0 0 0 0 0 0;
     0 0 w0 0 0 0 0 0;
     0 1/Mod -K1/Mod -D1/Mod -K2/Mod 0 0 0;
     0 0 -K4/Tdo 0 -1/(K3*Tdo) 1/Tdo 0 0;
     0 0 0 0 -Ke/Te 0 1/Te;
     0 0 0 -Ke*Kf/(Tf*Te) -1/Tf Ke/(Te*Tf);
     0 0 K5*Ka/Ta 0 K6*Ka/Ta 0 -Ka/Ta -1/Ta];
if mm==1,err=ee20;
BGANGGUANT=[0 ;
              0 ;
              0 ;
              .5*Md1;
              0 ;
              0 ;
              0 ;
              0 ];
[y1t,x1t]=step(AUT,BGANGGUANT(:,1),C,D,1,t);
Ynonf=y1t(:,4);

else err=ee3;
BGANGGUANT=[0 0 0 0 0 0;
              0 0 0 0 0 0;
              0 0 0 0 0 0;
              .2*Md1 .3*Md1 -.4*Md1 -.3*Md1 -.2*Md1 .5*Md1;
              0 0 0 0 0 0;
              0 0 0 0 0 0;
              0 0 0 0 0 0;
              0 0 0 0 0 0];
[y1t,x1t]=step(AUT,BGANGGUANT(:,1),C,D,1,t1);
[y2t,x2t]=step(AUT,BGANGGUANT(:,2),C,D,1,t2);
[y3t,x3t]=step(AUT,BGANGGUANT(:,3),C,D,1,t3);
[y4t,x4t]=step(AUT,BGANGGUANT(:,4),C,D,1,t4);
[y5t,x5t]=step(AUT,BGANGGUANT(:,5),C,D,1,t5);
[y6t,x6t]=step(AUT,BGANGGUANT(:,6),C,D,1,t6);
Yout1t=y1t(:,4);
Yout2t=y2t(:,4);
Yout3t=y3t(:,4);
Yout4t=y4t(:,4);
Yout5t=y5t(:,4);
Yout6t=y6t(:,4);
Ynonf=[Yout1t' Yout2t' Yout3t' Yout4t' Yout5t' Yout6t'];
end

```

```

figure(2)
plot(t,err,t,ee0),title('Sinyal gangguan');
ylabel('Perubahan Beban (pu)'), xlabel('Waktu (detik)'), grid;
pause

figure(3)
plot(t,0.1*Ynonf,'y',t,ee0,'r'),title('S. KELUARAN FREK.TANPA
ADAPTIF'),
ylabel('Perub. Frekuensi (pu)'), xlabel('Waktu (detik)'), grid;

figure(4)
plot(t,0.1*Ynont,'y',t,ee0,'r'),title('S. KELUARAN FREK.TANPA
ADAPTIF'),
ylabel('Perub. Tegangan (pu)'), xlabel('Waktu (detik)'), grid;

disp('=====PROSES ESTIMASI PARAMETER DAN KONTROL ADAPTIF SWATALA
=====')
disp('')

P0=input('penguatan adaptasi awal, P(0)=      ');
alpha=input('Faktor pengabai, alpha=[alpha0 alpha1(0)]           ');
alpha10=alpha(2); %alpha10 berisi kolom ke 2 dari matriks alpha
P=P0/det(alpha10);
alpha1(1)=1-alpha(1)+alpha(1)*alpha10;
aestf=[1 -1.6 .55 .04 .09 -.01  0.0896 0.0902  0.1858];
bestf=[0 .1 -.15 1.8 .03 .05    0.2836 0.4768  0.0781];
cestf=[1 -0.7 -.002 .05 -.23 -.02 0.4473   -0.1527 0.1860];
thf=[aestf(1,2:9) bestf(1,2:9) cestf(1,2:9)]';
aestt=[1 -1.2 ];
bestt=[0 .3 -.3 ];
cestt=[1 -.02 -.06];
tht=[aestt(1,2) bestt(1,2:3) cestt(1,2:3)]';
rho=input('konstanta pengendali, rho=      ');

%MENGHITUNG PARAMETER SINYAL KENDALI
%=====
[Ff,Gf]=deconv(cestf,aestf);
BFF=conv(bestf,Ff);
Lf=rho/bestf(1,2);
CLf=conv(cestf,Lf);
CLBFF=CLf+[BFF(1,2:9) 0];

[Ft,Gt]=deconv(cestt,aestt);
BFT=conv(bestt,Ft);
Lt=rho/bestt(1,2);
CLt=conv(cestt,Lt);
CLBFT=CLt+[BFT(1,2:4)];

Pf=P0*eye(24);
Pestf(1)=P(1,1);
psif=zeros(24,1);
yyf=ee0;
uuf=ee0;

```

```

Rf=ee0;
eef=ee0;
uf=ee0;

Pt=P0*eye(5);
Pestt(l)=P(l,l);
psit=zeros(5,1);
yyt=ee0;
uut=ee0;
Rt=ee0;
eet=ee0;
ut=ee0;

yolf=filter(numdl,dend,uuf);
yo3f=filter(numd3f,dend,err);
yf=yolf+yo3f;
yyf(l)=yf(l);
ulf=filter(Gf,CLBFF,-yyf);
uulf(l)=ulf(l);
Rlf=filter(cestf,CLBFF,Rf);
u2f=ulf+Rlf;
uf=filter([1],[1 -1],u2f);
    psif(l)=-yyf(l);
    erf=yyf(l);
uuf(l)=uf(l);
eef(l)=erf(l);

yo2t=filter(numd2,dend,uut);
yo3t=filter(numd3t,dend,err);
yt=yo2t+yo3t;
yyt(l)=yt(l);
ult=filter(Gt,CLBFT,-yyt);
uult(l)=ult(l);
Rlt=filter(cestt,CLBFT,Rt);
u2t=ult+Rlt;
ut=filter([1],[1 -1],u2t);
    psit(l)=-yyt(l);
    ert=yyt(l);
uut(l)=ut(l);
eet(l)=ert(l);

st=l:nit;
for i=2:nit;
    fqf=psif'*Pf*psif;
    er0f(i)=yyf(i-1)-thf'*psif;
    fqef=Pf*psif*er0f(i);
    Penf=alphal(i-1)+fqf;
    Pentf=l+fqf;
    fqqf=Pf*psif*psif'*Pf;
    fkf=fqqf/det(Penf);
    dkf=Pf-fkf;
    Pf=dkf/det(alphal(i-1));
    Pestf(i)=Pf(l,l);
        if Pestf(i)<=0 break;
    end
    fkttf=fqef/det(Pentf);

```

```

thf=thf+fkttf;

fqqt=psit'*Pt*psit;
er0t(i)=yyt(i-1)-tht'*psit;
fqet=Pt*psit*er0t(i);
Pent=alphal(i-1)+fqqt;
Pentt=1+fqqt;
fqqt=Pt*psit*psit'*Pt;
fkt=fqqt/det(Pent);
dkt=Pt-fkt;
Pt=dkt/det(alphal(i-1));
Pestt(i)=Pt(1,1);
if Pestt(i)<=0 break;
end
fkttt=fqet/det(Pentt);
tht=tht+fkttt;

aestf=[1 thf(1:8,1)'];
bestf=[0 thf(9:16,1)'];
cestf=[1 thf(17:24,1)'];
ae1f(i)=thf(1,1);ae2f(i)=thf(2,1);
ae3f(i)=thf(3,1);ae4f(i)=thf(4,1);ae5f(i)=thf(5,1);
be1f(i)=thf(9,1);be2f(i)=thf(7,1);be3f(i)=thf(8,1);
be4f(i)=thf(9,1);be5f(i)=thf(10,1);
ce1f(i)=thf(11,1);ce2f(i)=thf(12,1);ce3f(i)=thf(13,1);
ce4f(i)=thf(14,1);ce5f(i)=thf(15,1);

aestt=[1 tht(1,1)'];
bestt=[0 tht(2:3,1)'];
cestt=[1 tht(4:5,1)'];
aelt(i)=tht(1,1);
belt(i)=tht(2,1);be2t(i)=tht(3,1);
celt(i)=tht(4,1);ce2t(i)=tht(5,1);

[Ff,Gf]=deconv(cestf,aestf);
BFF=conv(bestf,Ff);
Lf=rho/bestf(1,2);
CLf=conv(cestf,Lf);
CLBFF=CLf+[BFF(1,2:9) 0];

[Ft,Gt]=deconv(cestt,aestt);
BFT=conv(bestt,Ft);
Lt=rho/bestt(1,2);
CLt=conv(cestt,Lt);
CLBFT=CLt+[BFT(1,2:4) ];

yolf=filter(numdl,dend,uuf);
yf=yolf+y03f;
yyf(i)=yf(i);
ulf=filter(Gf,CLBFF(1,:),-yyf);
uulf(i)=ulf(i);
Rlf=filter(cestf,CLBFF,Rf);
u2f=Rlf+ulf;
uf=filter([1],[1 -1],u2f);
erf(i)=yyf(i)-thf'*psif;
uuf(i)=uf(i);

```

```

    eef(i)=erf(i);
    psif(1)=-yyf(i);
    psif(2)=-yyf(i-1);
    psif(9)=uuf(i-1);
    psif(17)=eef(i);
    psif(18)=eef(i-1);
    if i<3 psif(3)=0;psif(10)=0;psif(19)=0;
    else psif(3)=-yyf(i-2);
        psif(10)=uuf(i-2);
        psif(19)=eef(i-2);
    end

    if i<4 psif(4)=0;
        psif(11)=0;
        psif(20)=0;
        else psif(4)=-yyf(i-3);
            psif(11)=uuf(i-3);
            psif(20)=eef(i-3);
    end
    if i<5 psif(5)=0;
        psif(12)=0;
        psif(21)=0;
        else psif(5)=-yyf(i-4);
            psif(12)=uuf(i-4);
            psif(21)=eef(i-4);
    end
    if i<6 psif(6)=0;
        psif(13)=0;
        psif(22)=0;
        else psif(6)=-yyf(i-5);
            psif(13)=uuf(i-5);
            psif(22)=eef(i-5);
    end
    if i<7 psif(7)=0;
        psif(14)=0;
        psif(23)=0;
        else psif(7)=-yyf(i-6);
            psif(14)=uuf(i-6);
            psif(23)=eef(i-6);
    end
    if i<8 psif(8)=0;
        psif(15)=0;
        psif(24)=0;
        else psif(8)=-yyf(i-7);
            psif(15)=uuf(i-7);
            psif(24)=eef(i-7);
    end
    if i<9 psif(16)=0;
        else psif(16)=uuf(i-8);
    end

yo2t=filter(numd2,dend,uut);
yt=yo2t+yo3t;
yyt(i)=yt(i);
u1t=filter(Gt,CLBft(1,:),-yyt);
uult(i)=u1t(i);

```

```

Rlt=filter(cestt,CLBFt,Rt);
u2t=Rlt+ult;
ut=filter([1],[1 -1],u2t);
ert(i)=yyt(i)-tht'*psit;
uut(i)=ut(i);
eet(i)=ert(i);
psit(1)=-yyt(i);
psit(2)=uut(i-1);
psit(4)=eet(i);
psit(5)=eet(i-1);
if i<3 psit(3)=0;
else psit(3)=uut(i-2);
end

alphal(i)=1-alpha(1)+alpha(1)*alphal(i-1);
end;

YYff=yyf;
uuff=uuf;
yytt=-yyt/100;
uutt=-uut/100;

figure(5)
plot(st,yyff(st)),title('Sinyal keluaran, Y')
ylabel('Perubahan Frek. (pu)'), xlabel('Waktu (detik)')

figure(6)
plot(st,ee0(st),st,uuff(st)),title('Sinyal Kendali Frek., U')
ylabel('Amplitudo (pu)'), xlabel('Waktu (detik)')

figure(7)
plot(st,yytt(st)),title('Sinyal keluaran, Y')
ylabel('Perubahan Teg. (pu)'), xlabel('Waktu (detik)')

figure(8)
plot(st,ee0(st),st,uutt(st)),title('Sinyal Kendali Teg., U')
ylabel('Amplitudo (pu)'), xlabel('Waktu (detik)')

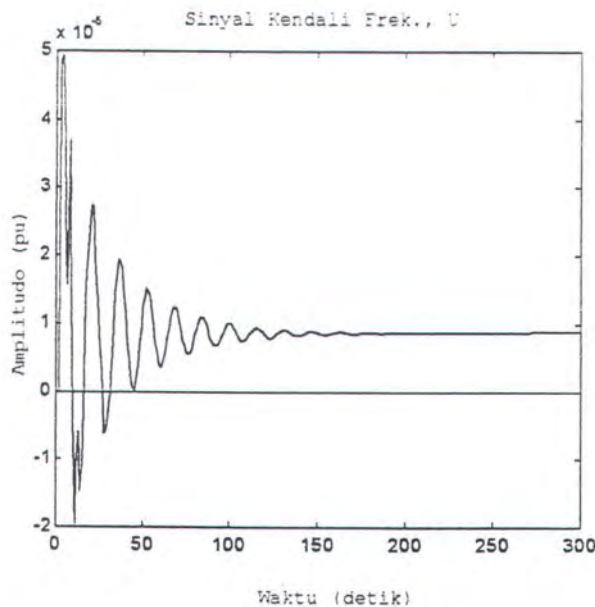
```



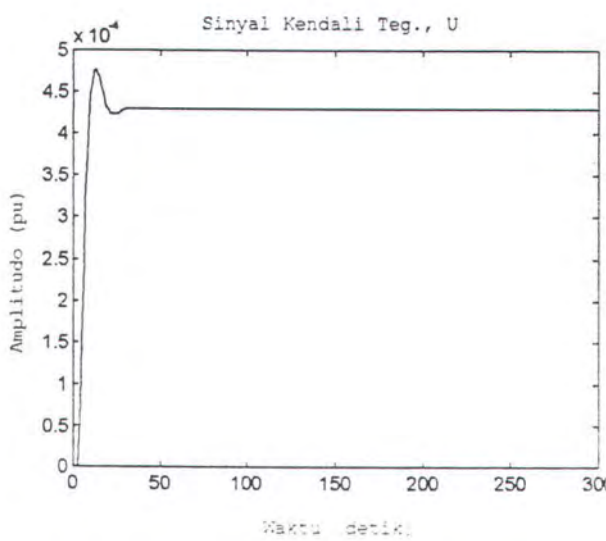
TUGAS AKHIR

LAMPIRAN C

LAMPIRAN C

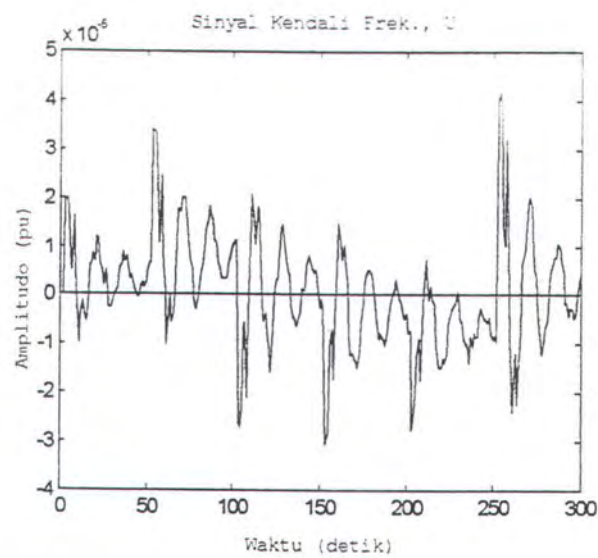


(a)

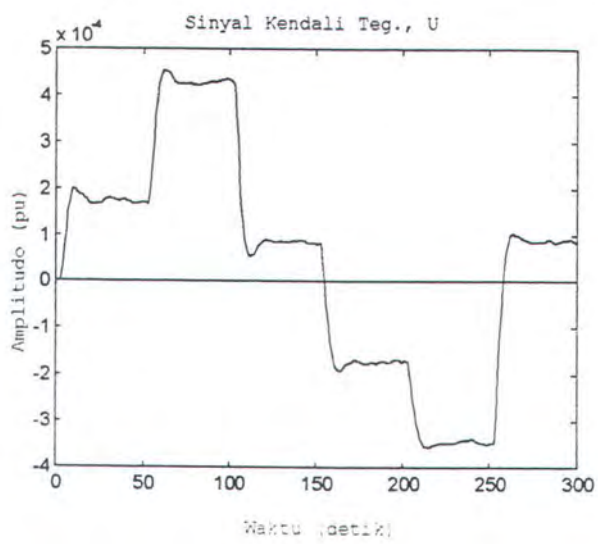


(b)

Gambar : (a). *Sinyal Kendali Frekuensi dengan Input Sinyal Gangguan 1*
(b). *Sinyal Kendali Tegangan dengan Input Sinyal Gangguan 1*



(a)



(b)

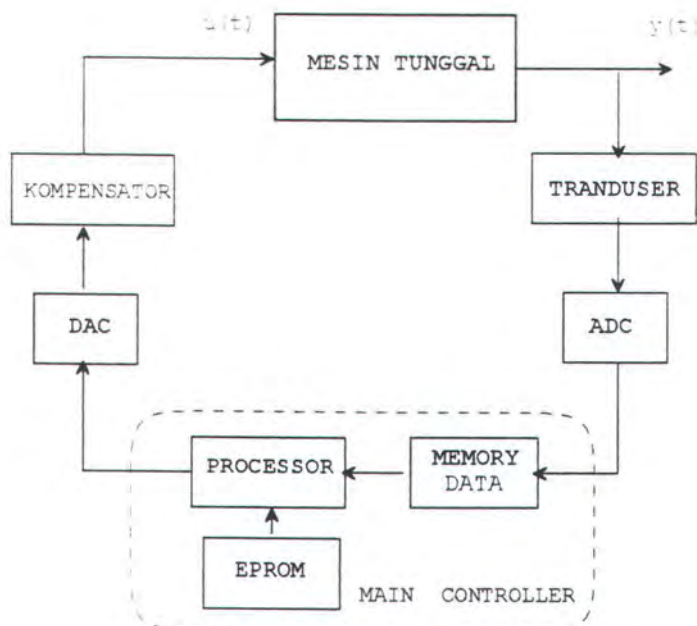
Gambar : (a). Sinyal Kendali Frekuensi dengan Input Sinyal Gangguan 2
(b). Sinyal Kendali Tegangan dengan Input Sinyal Gangguan 2



TUGAS AKHIR

LAMPIRAN D

LAMPIRAN D



Gambar diagram blok peralatan pengendalian frekuensi dan tegangan menggunakan kontrol adaptif swatala

dengan,

- $u(t)$ adalah sinyal kontrol frekuensi dan tegangan
- $y(t)$ adalah sinyal keluaran frekuensi dan tegangan
- Tranduser adalah berupa frekuensi counter dan potensial transformer (PT)
- Kompensator berupa motor dan potensial transformer
- ADC adalah alat untuk mengubah sinyal analog ke sinyal digital
- DAC adalah alat untuk mengubah sinyal digital ke sinyal analog
- Memory Data adalah alat untuk menyimpan data yang diperoleh dari sinyal keluaran, sinyal masukan dan harga acuan.

- EPROM* adalah Erasable Programable Read Only Memory merupakan alat yang berisi program estimasi parameter dan perhitungan sinyal kontrol menggunakan metode adaptif swatala.
- Processor* adalah pengolah program-program yang ada pada EPROM dengan menggunakan data-data yang telah disimpan dalam Memory Data.